

Bi8120 Aplikovaná buněčná biologie

FERTILIZACE A EMBRYOGENEZE

RNDr. Jakub Neradil, Ph.D.
Ústav experimentální biologie PřF MU



MINISTERSTVO ŠKOLSTVÍ,
MLÁDEŽE A TĚLOVÝCHOVY



INVESTICE DO ROZVOJE VZDĚLÁVÁNÍ

Tato prezentace je spolufinancována
Evropským sociálním fondem
a státním rozpočtem České republiky

Program přednášky:

- meióza a gametogeneze
- mechanismy fertilizace
- časná embryogeneze
- hybridní a chiméry

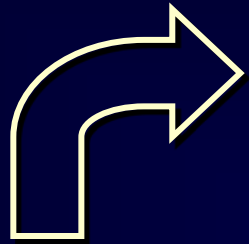
Způsoby rozmnožování eukaryot

Nepohlavní rozmnožování

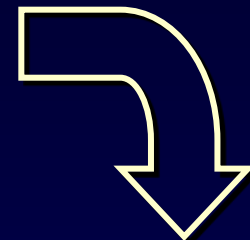
- potomstvo geneticky identické s rodičovským organismem

Pohlavní rozmnožování

- původní kombinace genů zanikají a vznikají nové → každý organismus je geneticky jedinečný
- kompetitivní selekční výhoda pro organismy v nepředvídatelně variabilním prostředí

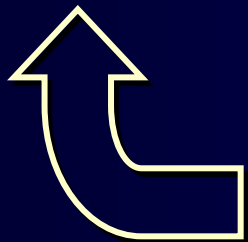


MEIÓZA

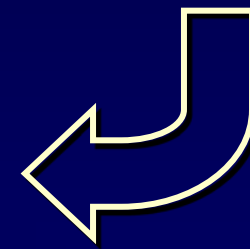


DIPLOIDIE

HAPLOIDIE



FÚZE GAMET



MEIÓZA

MEIÓZA

- dvě po sobě jdoucí dělení:
 - I. meiotické (heterotypické, redukční)
 - II. meiotické (homeotypické, ekvační)

Genetický význam meiózy:

- redukce počtu chromozomů při tvorbě pohlavních buněk
- v gametech 2^n ($2^{23} = 8.388.608$) možných kombinací chromosomů (pak ještě zvýšeno crossing-overem)
- párování homologických chromosomů, které umožňuje crossing-over a tím i rekombinaci genů

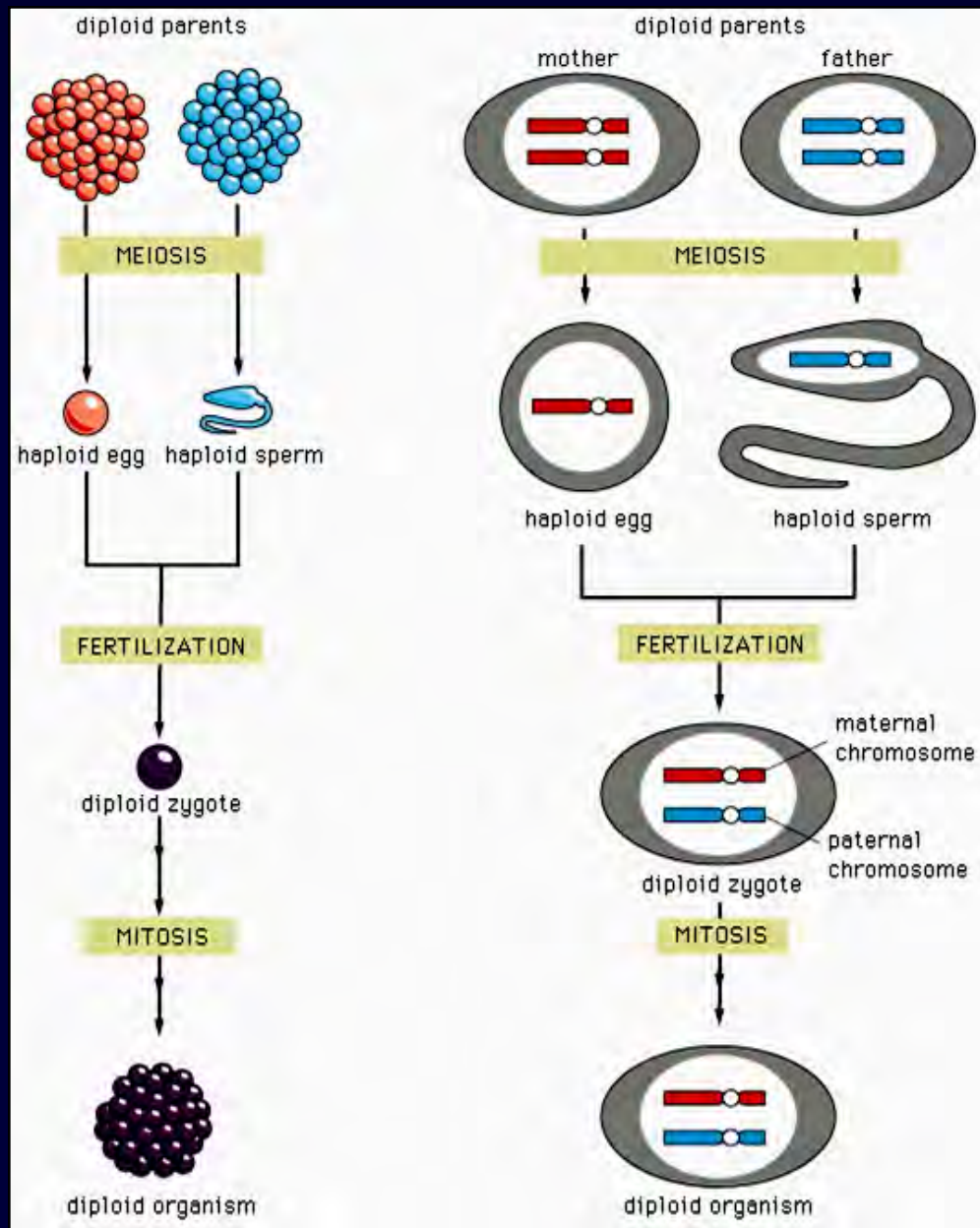
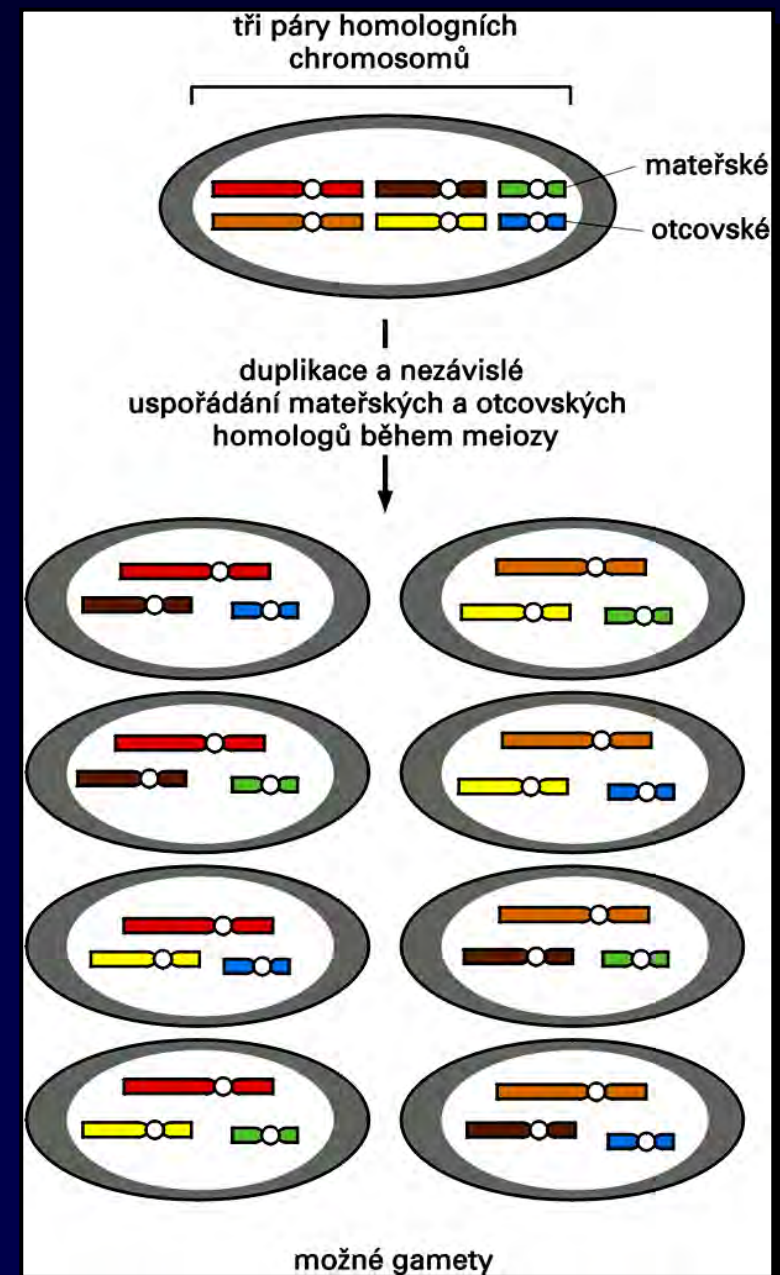
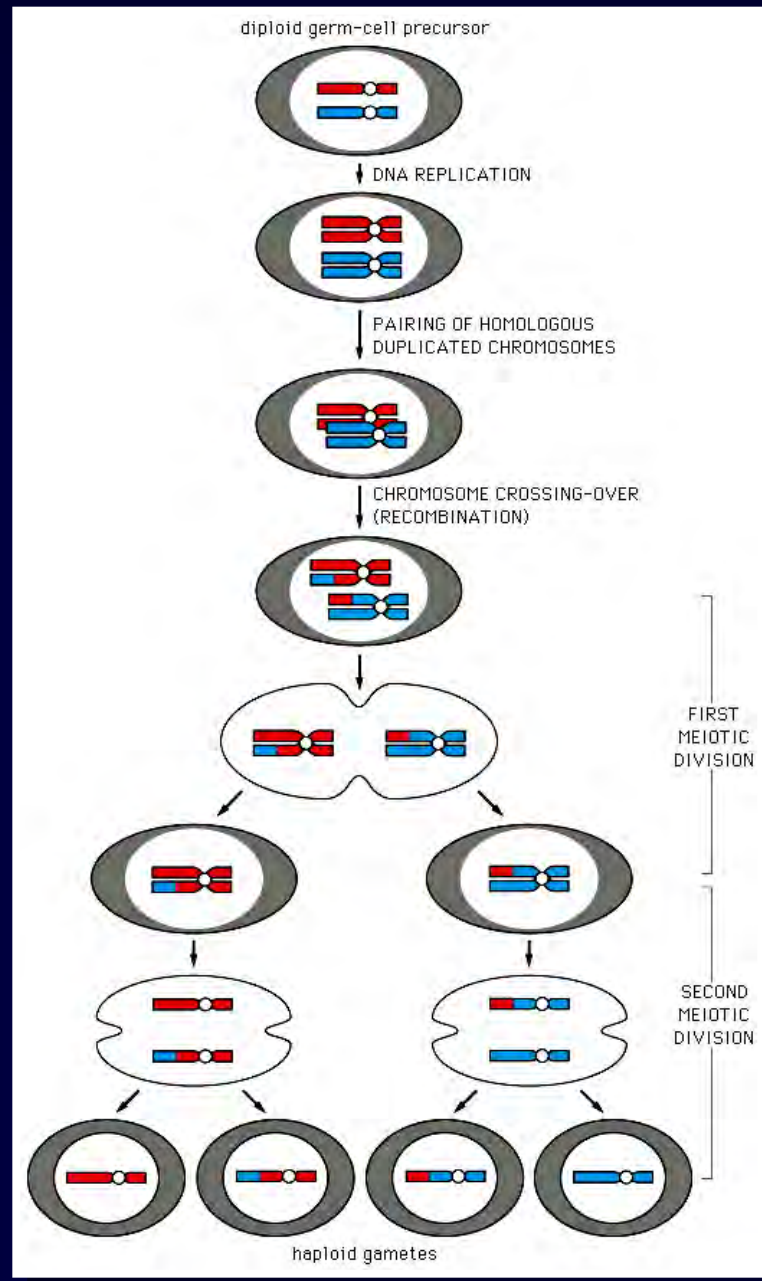


Schéma kombinace chromozomů v gametách





Stádia meiotického dělení

- Premeiotická interfáze

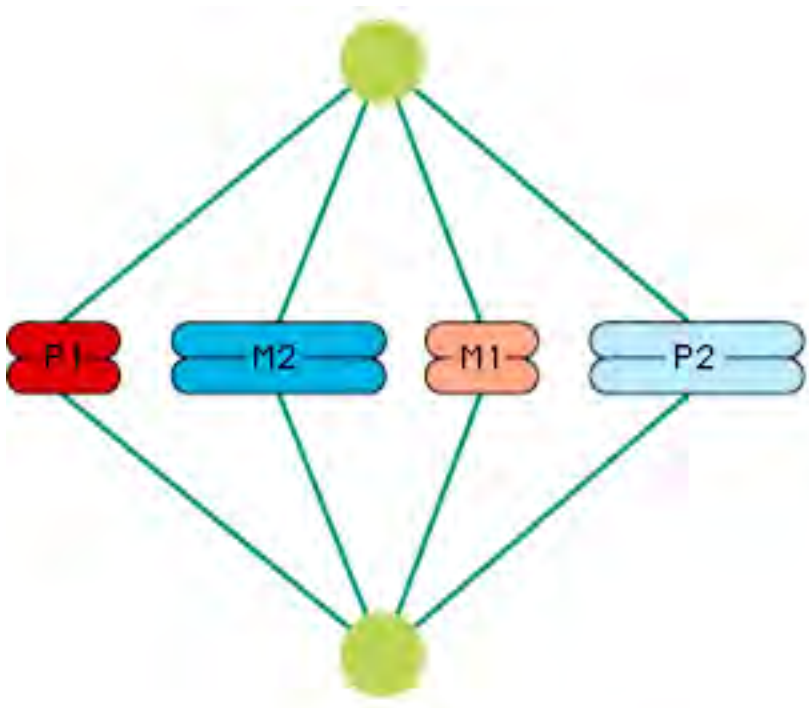
- Meióza I:

profáze I: leptotene
zygotene
pachytene
diplotene
diakinez

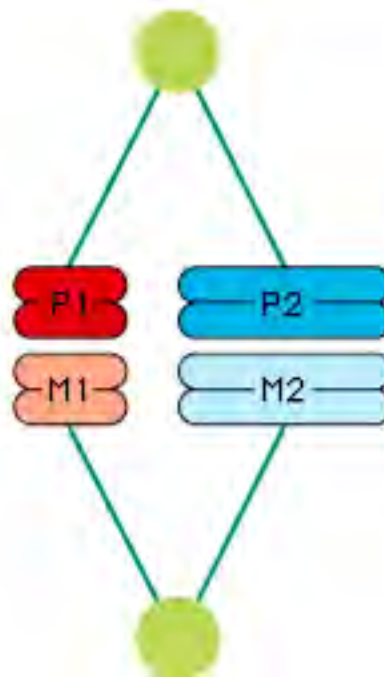
metafáze I, anafáze I, telofáze I

- Meióza II:

profáze II, metapháze II, anafáze II, telofáze II

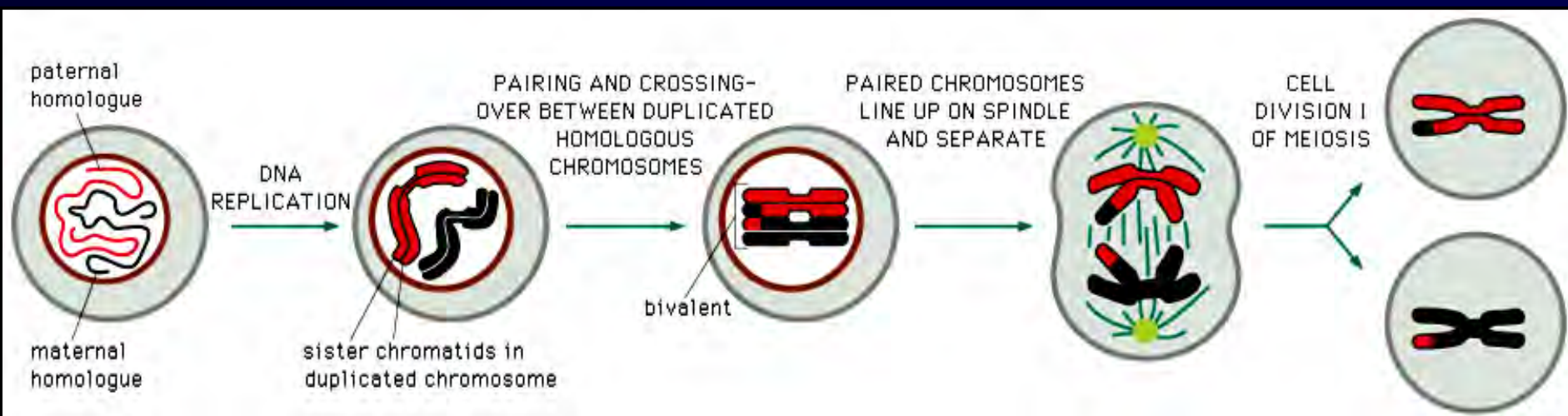


(A) Metaphase plate in **mitosis**:
homologous chromosomes act
independently

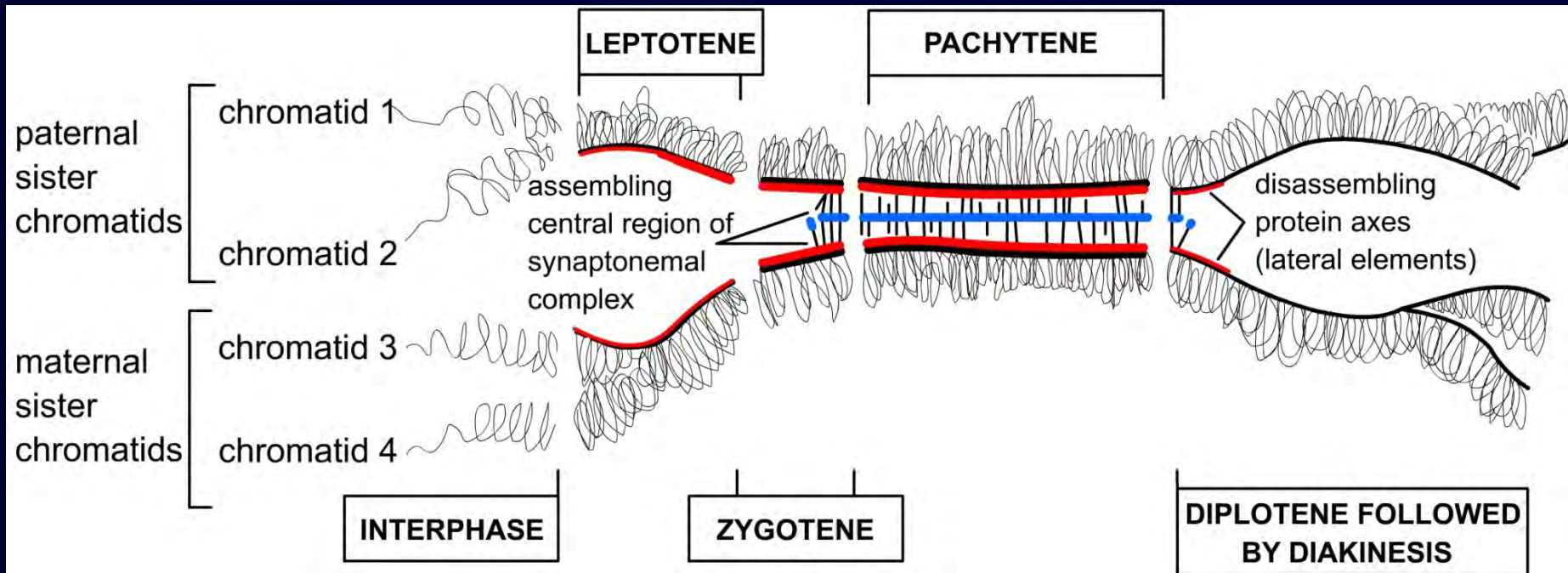


(B) Metaphase plate in **meiosis**:
homologous chromosomes pair

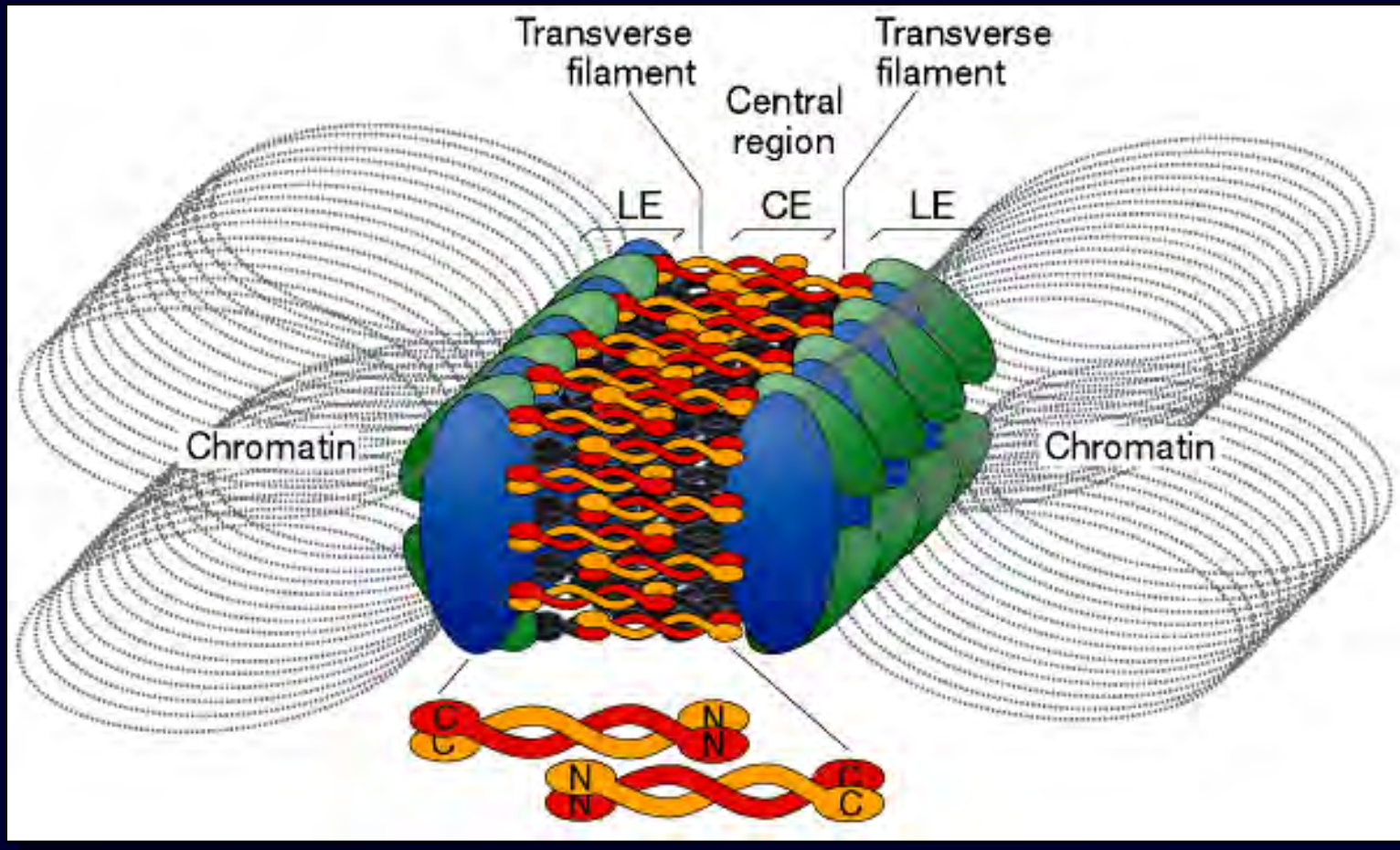
Tvorba bivalentů a crossing-over



Chromatidy v průběhu I. profáze

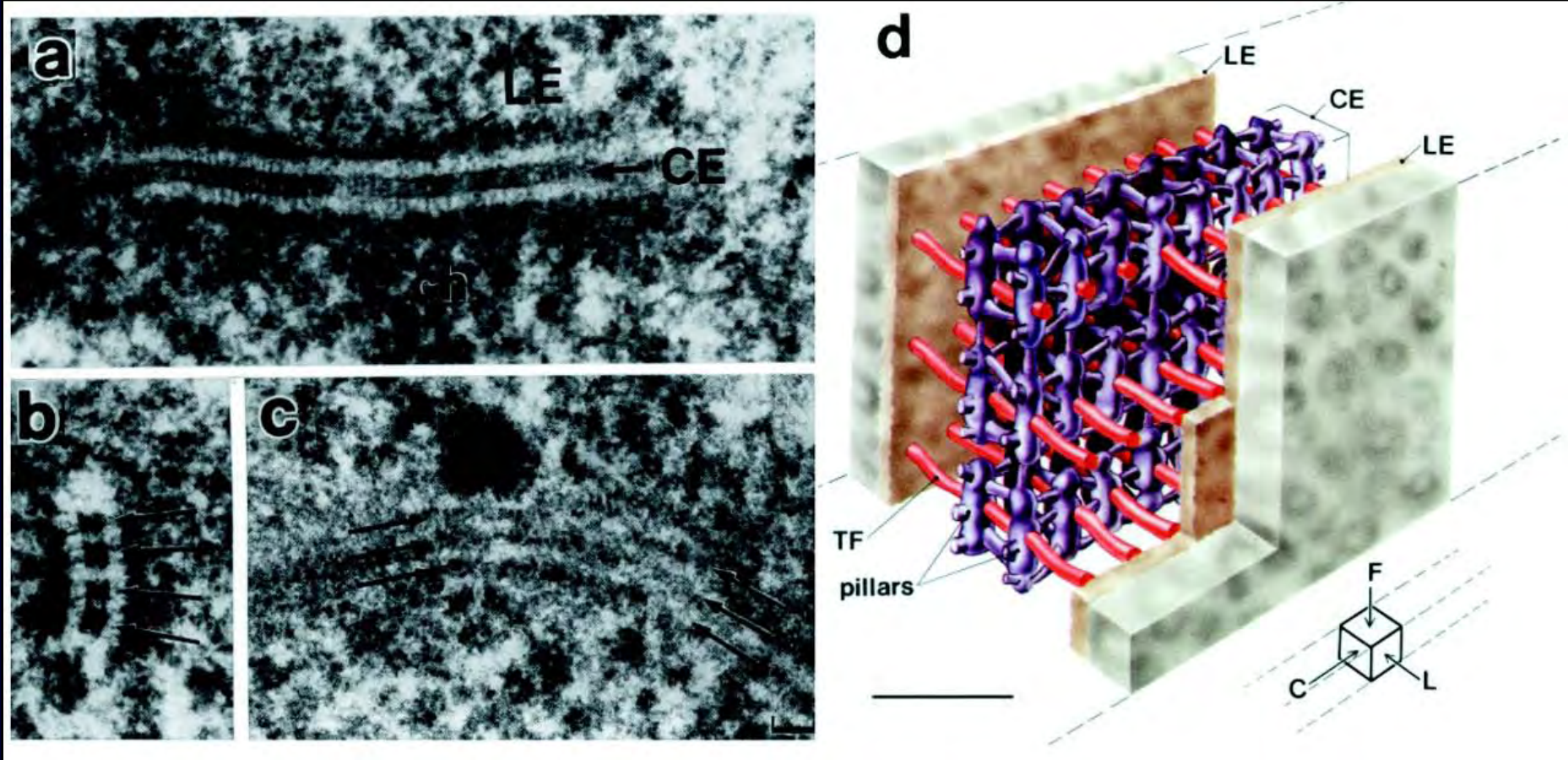


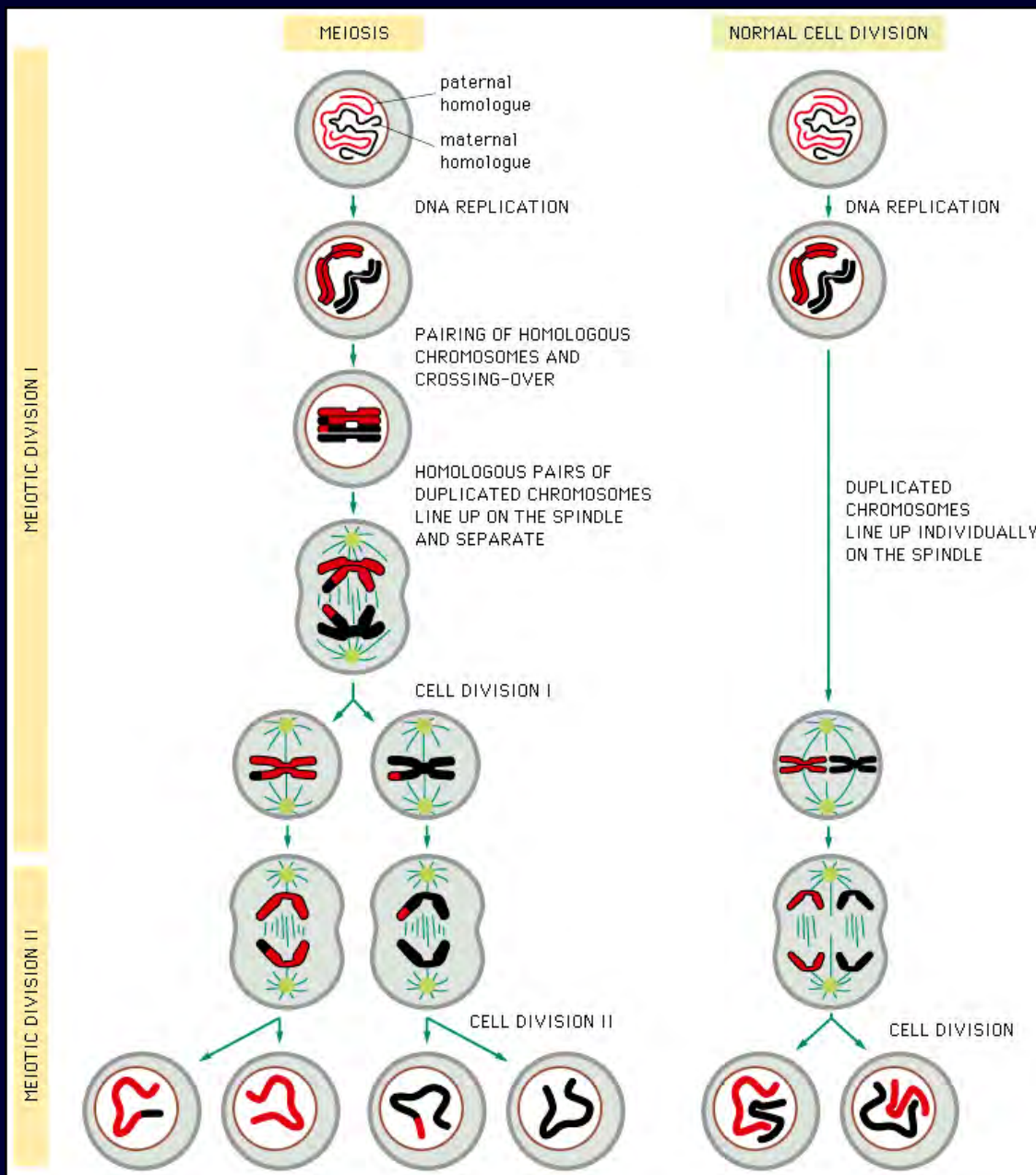
Synaptonemální komplex



SYCP (synaptonemal complex protein) 1 - 3

Synaptonemální komplex

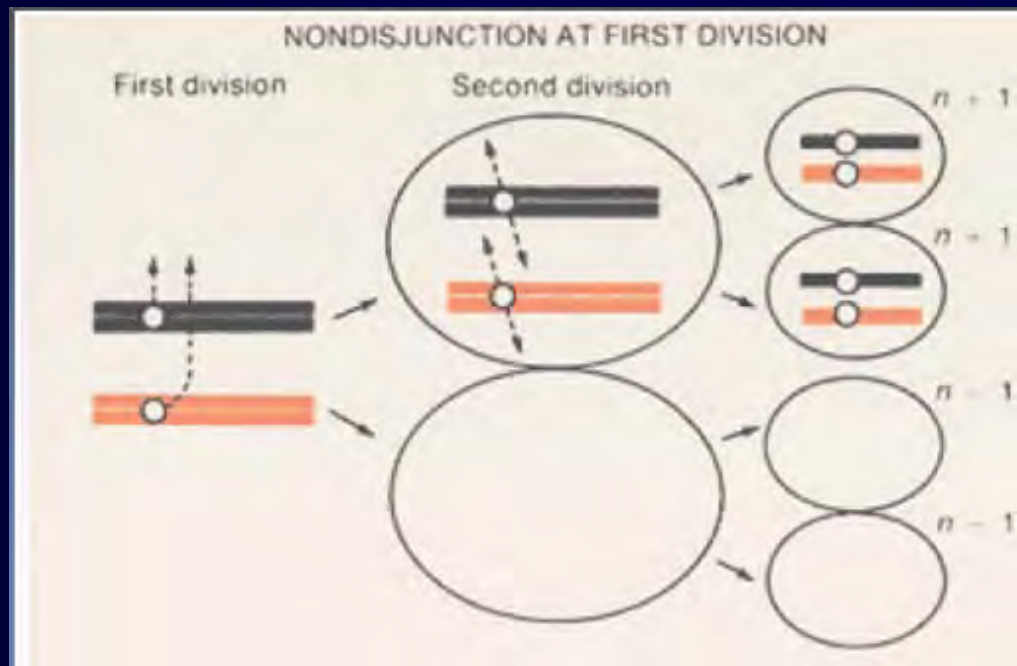




Poruchy meiózy a jejich genetické důsledky

a) Nerovnoměrný crossing-over

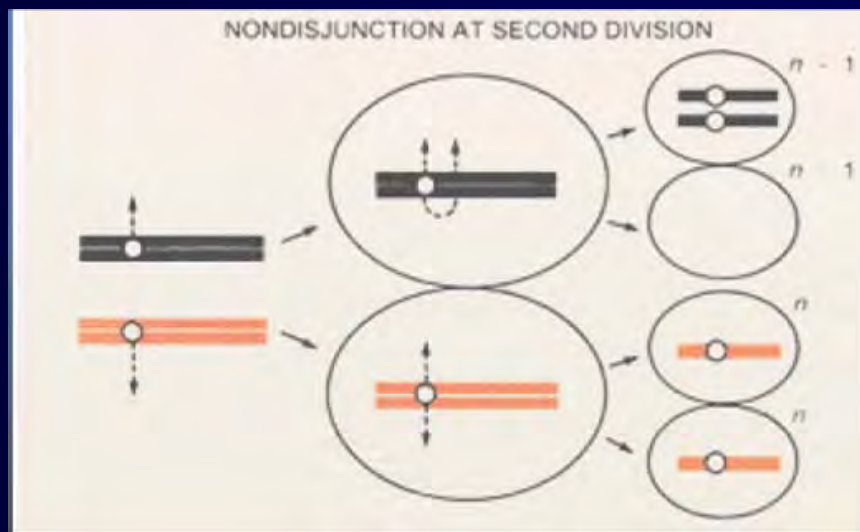
- v profázi I
- důsledek: delece a duplikace daného chromozomu v polovině gamet



Poruchy meiózy a jejich genetické důsledky

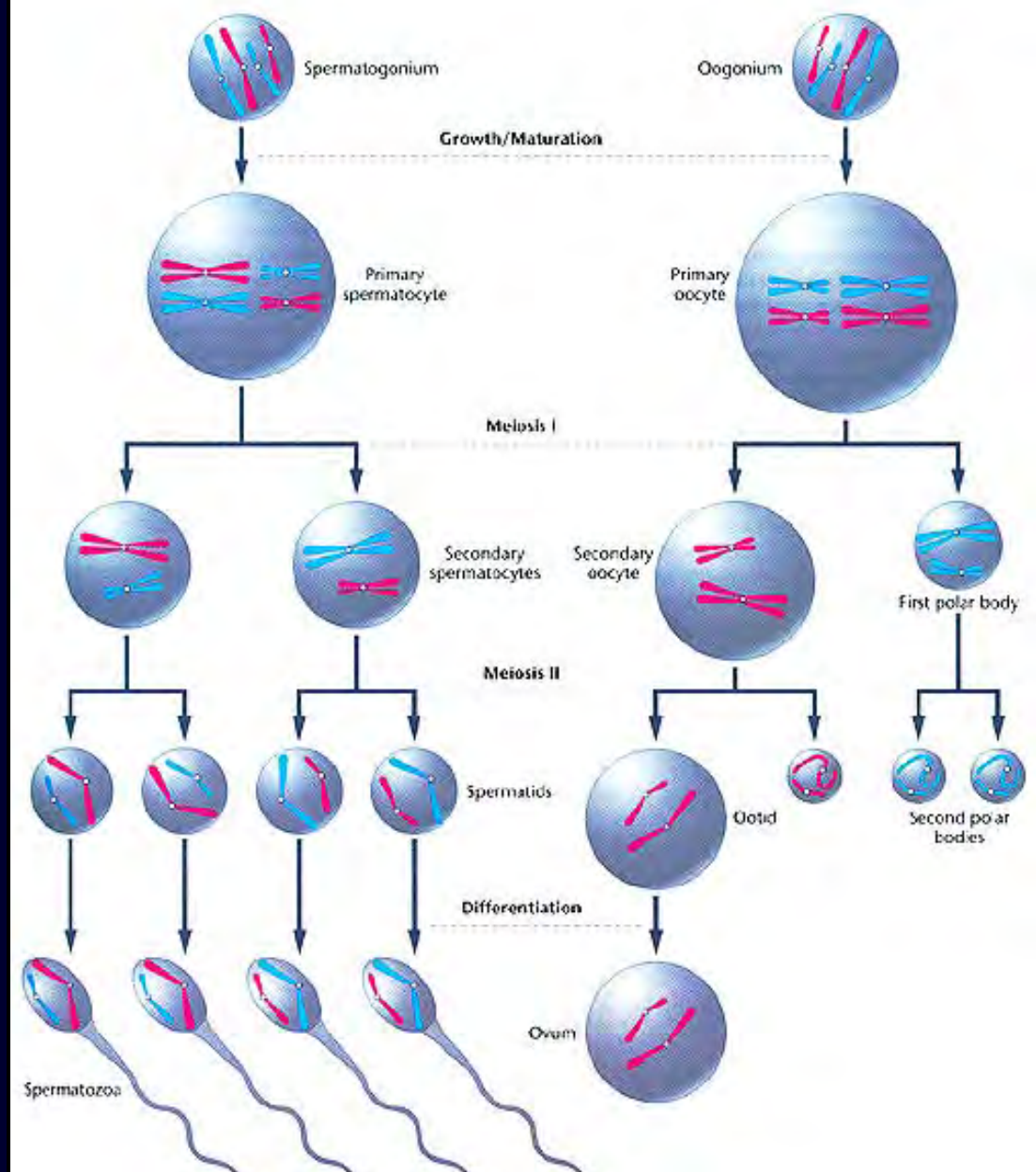
b) Neoddělení (nondisjunction)

- sesterské chromatidy v anafázi II
- porucha centromer nebo porucha mitotického aparátu
- důsledek: aneuploidie



GAMETOGENEZE

Porovnání spermatogeneze a oogeneze



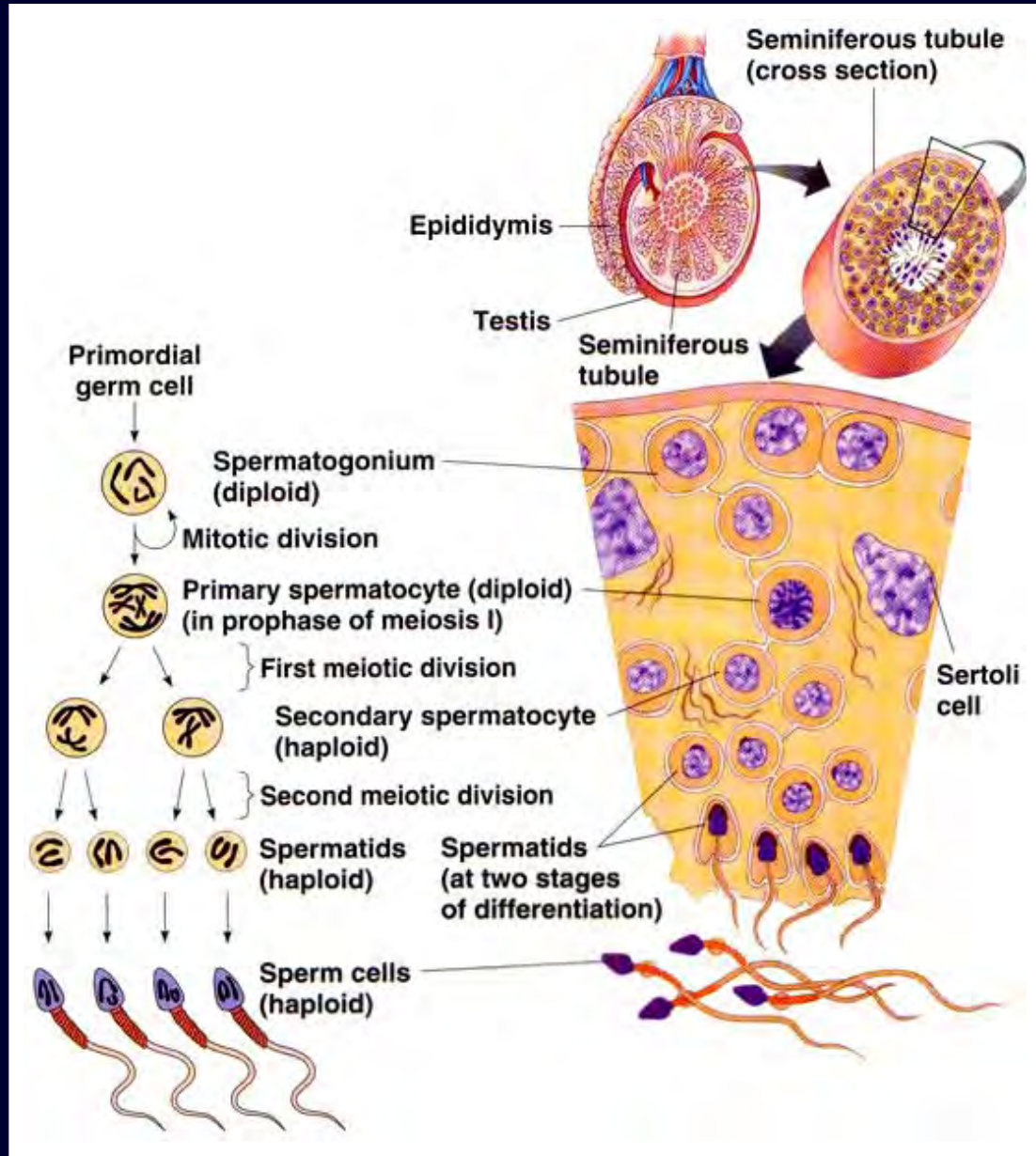
GAMETOGENEZE: SPERMATOGENEZE

- primordiální zárodečná buňka (spermatogonie)
(46, soustavně se mitoticky dělí)
- spermatocyt I. řádu
(46, probíhá meióza I.)
- spermatocyt II. řádu
(23, probíhá meióza II.)
- spermatida
(23, dozrává bez dalšího dělení)
- spermie
(23, uvolňují se do lumen semenných kanálků)

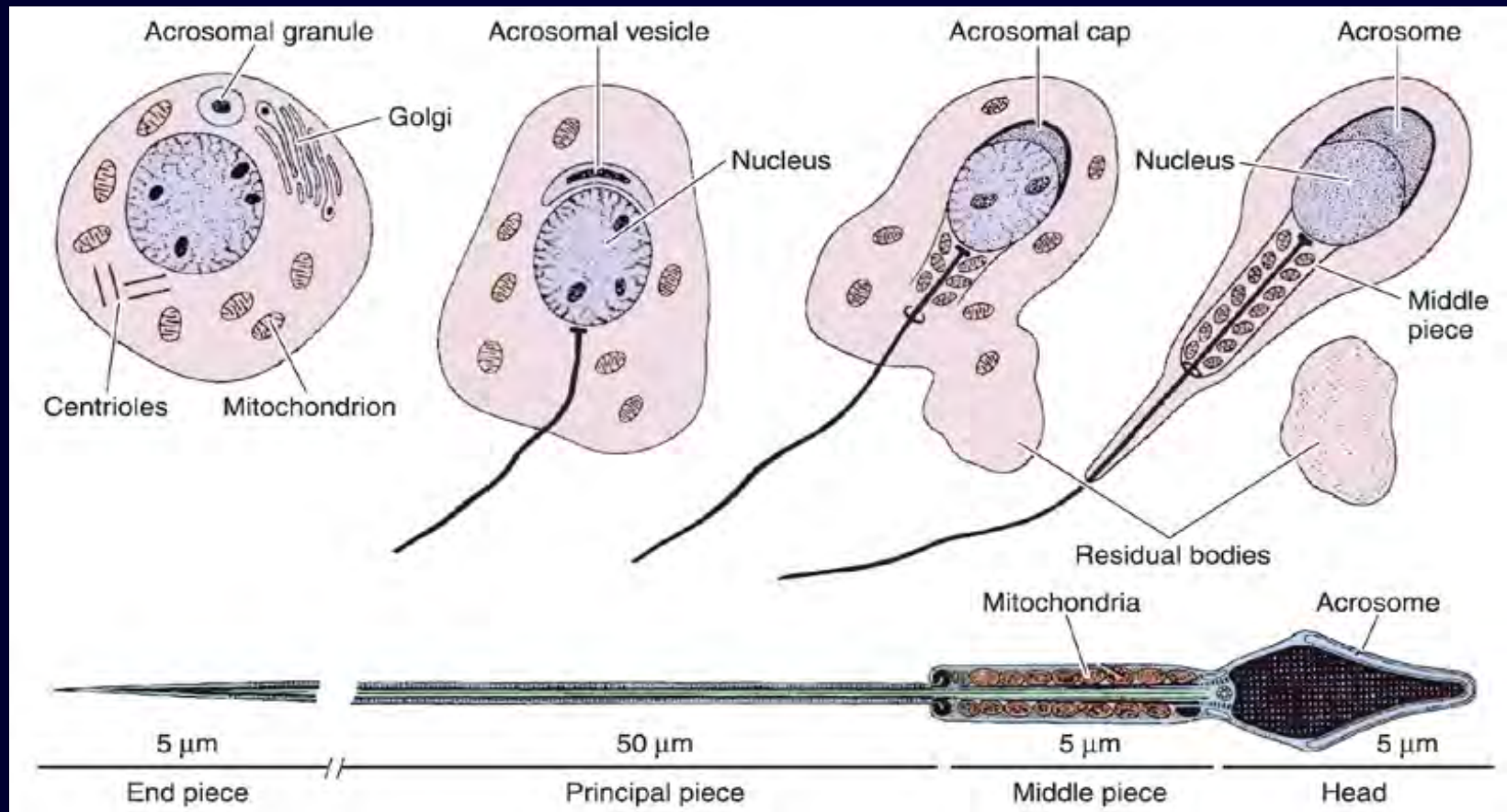
1 spermatogonie →

→ 4 haploidní rovnocenné spermie

Průběh spermatogeneze



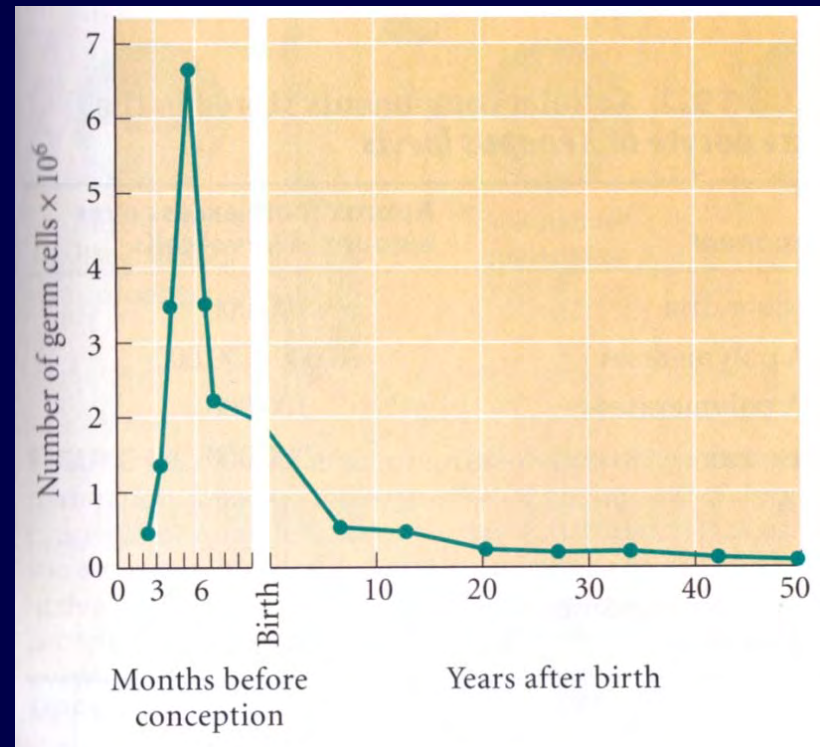
Morfologie spermie



GAMETOGENEZE: OOGENEZE

- primordiální zárodečná buňka
(46, mitotické dělení)
- oogonium
(46, mitóza, ve 3.měsíci po oplození vývoj v oocyty)

počet zárodečných buněk v ovariu během života



GAMETOGENEZE: OOGENEZE

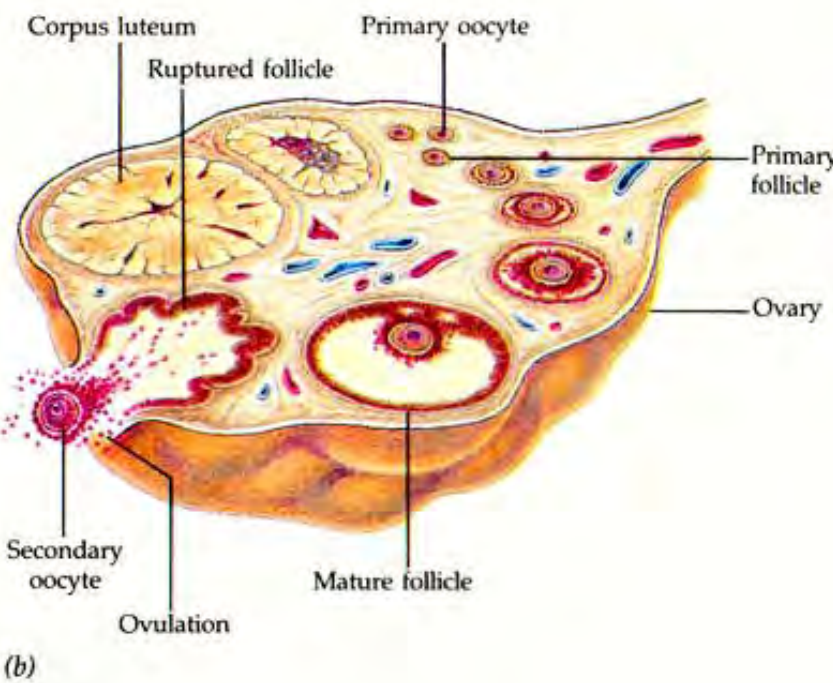
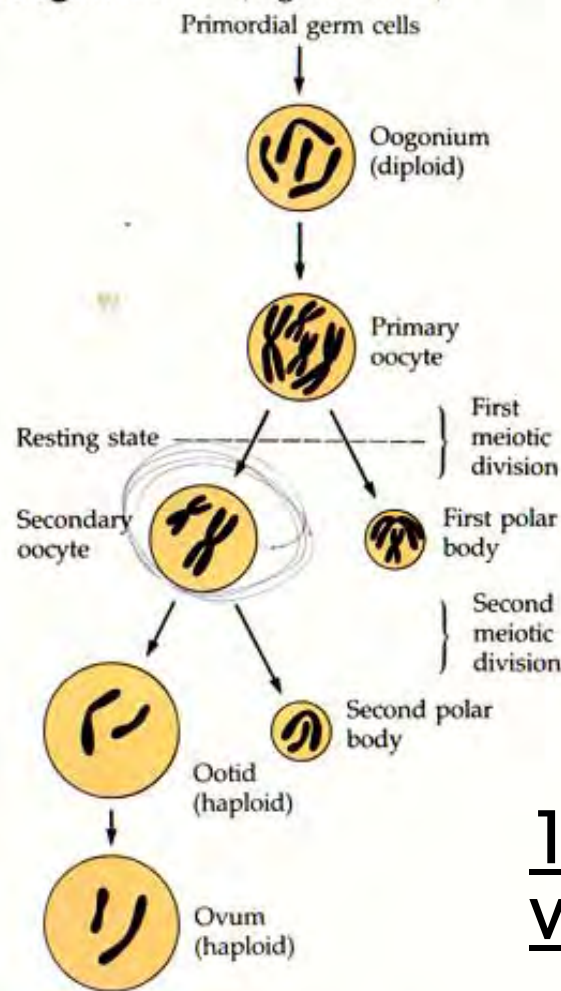
- oocyt I. řádu
(46, začne meióza I, zastavení v profázi ještě před narozením, při dozrávání se dělící vřeténko přesunuje k periferii buňky – nerovnoměrné dělení)
- oocyt II. řádu (+ pólocyt)
(23, vstupuje do meiózy II, zastavení v metafázi II.)
- ovum (+ pólocyt)
(23, meióza dokončena v případě oplození)



Průběh oogeneze

Oogenesis

(Figure 42.14)



1 oogonium → 1 zralé
vajíčko + 2-3 pólocyty

Stádia folikulu

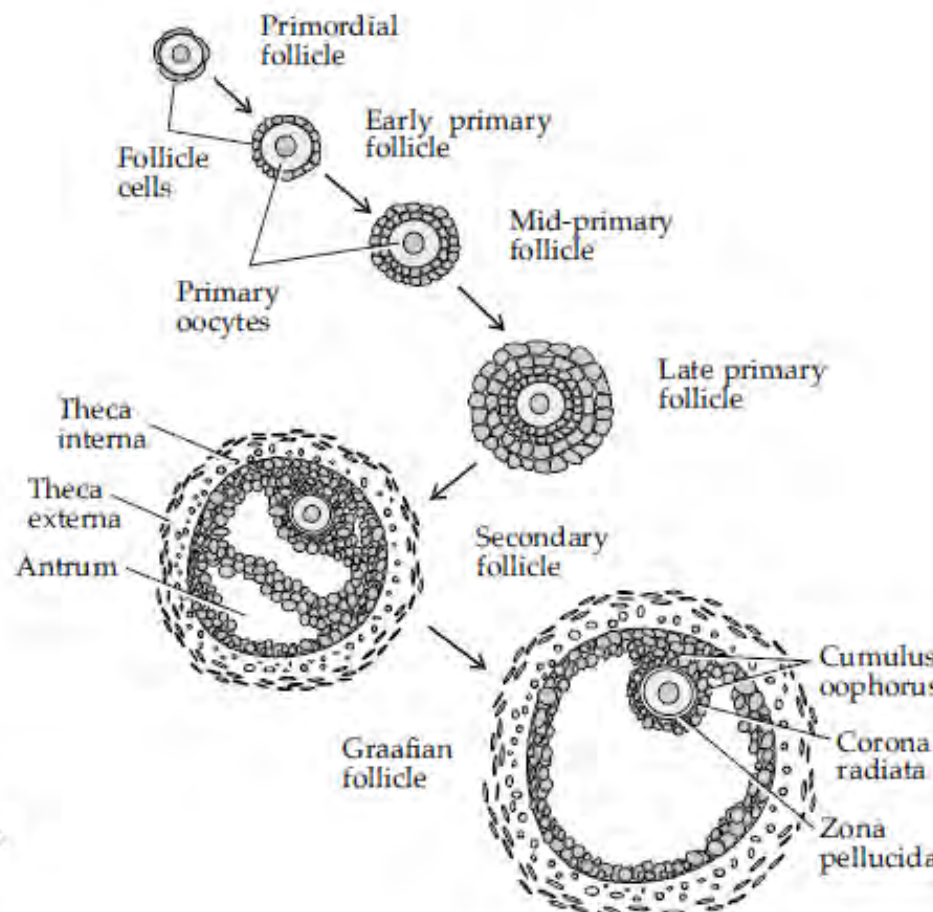
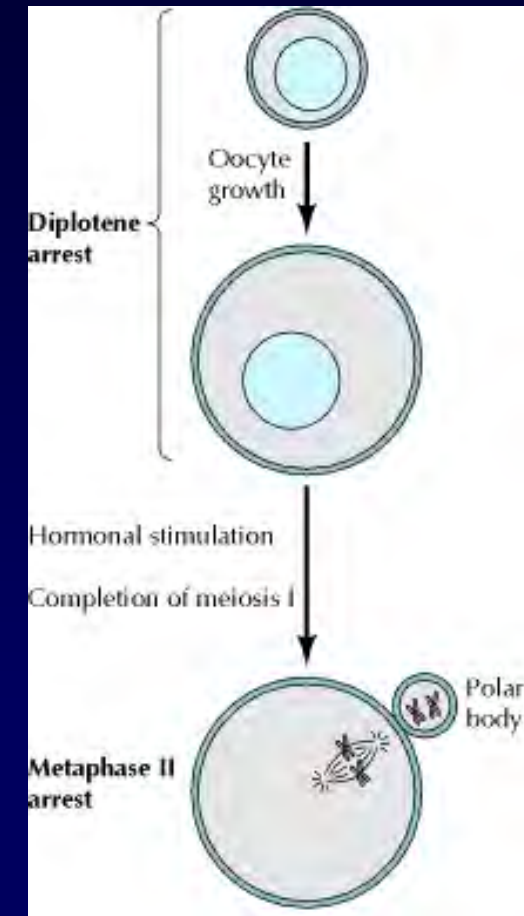


Figure 5.6
Schematic diagram of stages
in follicle development.

REGULACE OOGENEZE

1. regulační bod = diplotene meiózy I

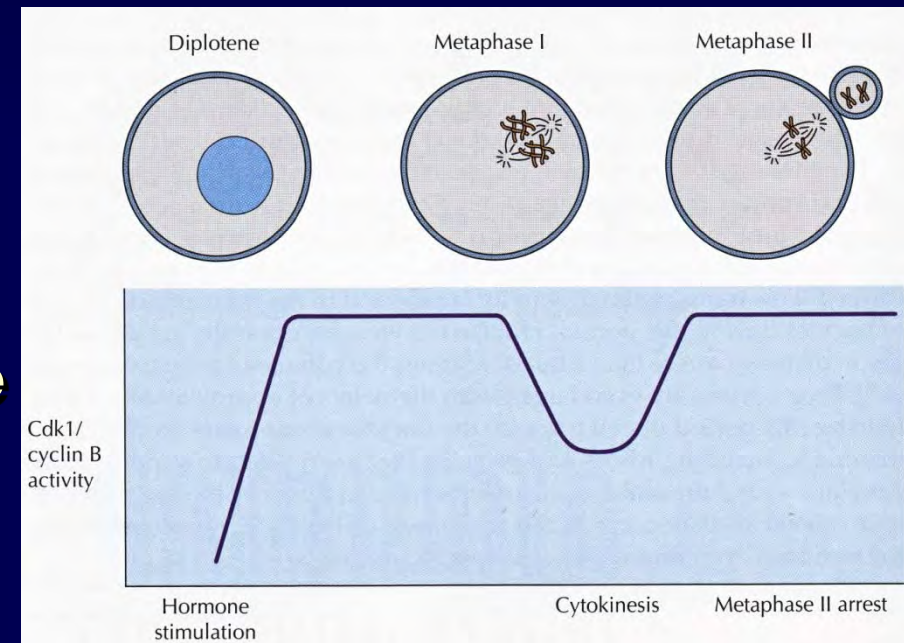
- dlouhodobé zablokování buněčného cyklu (u člověka až 50 let); u některých živočišných druhů až do fertilizace
- dekondenzace chromosomů,
počet = $4n$
- transkripční aktivita → akumulace materiálu pro časnou embryogenezi,
růst oocytu



REGULACE OOGENEZE

1. regulační bod = diplotene meiózy I

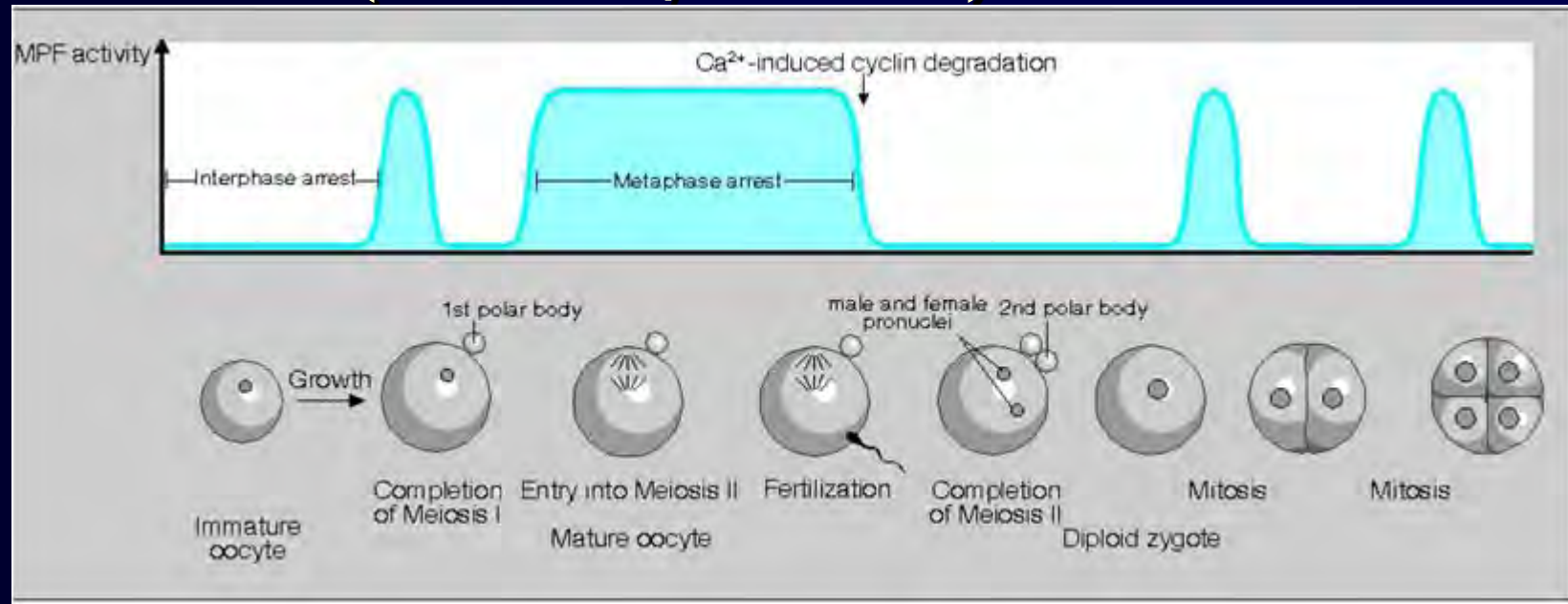
- hormonální stimulace (LH) → Cdk1/cyklin B (MPF = maturation promoting factor) → kondenzace chromosomů, rozpad jaderné membrány, formování spindlu
- anaphase - promoting complex → spouští anafázi
- pouze částečná deaktivace Cdk1 přetrvávající M-fáze (kondenzovaný chromatin, bez jaderné membrány)



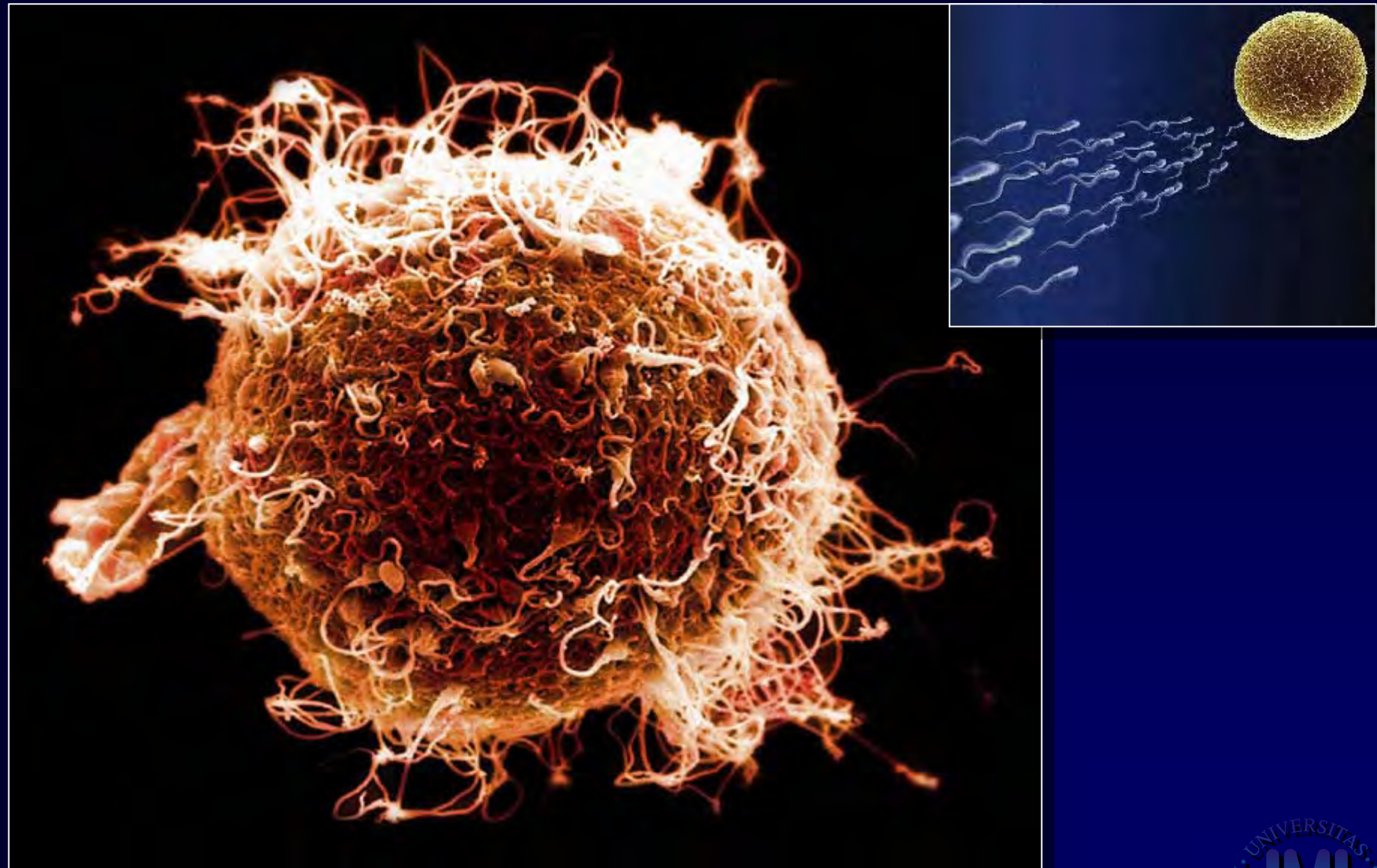
REGULACE OOGENEZE

2. regulační bod = metafáze meiózy II

- u většiny obratlovců až do fertilizace
- po cytokinezi I.meiózy - zvýšení aktivity MPF
- anaphase-promoting komplex syntetizován až po fertilizaci (do té doby blokován)



MECHANISMY FERTILIZACE



Kapacitace

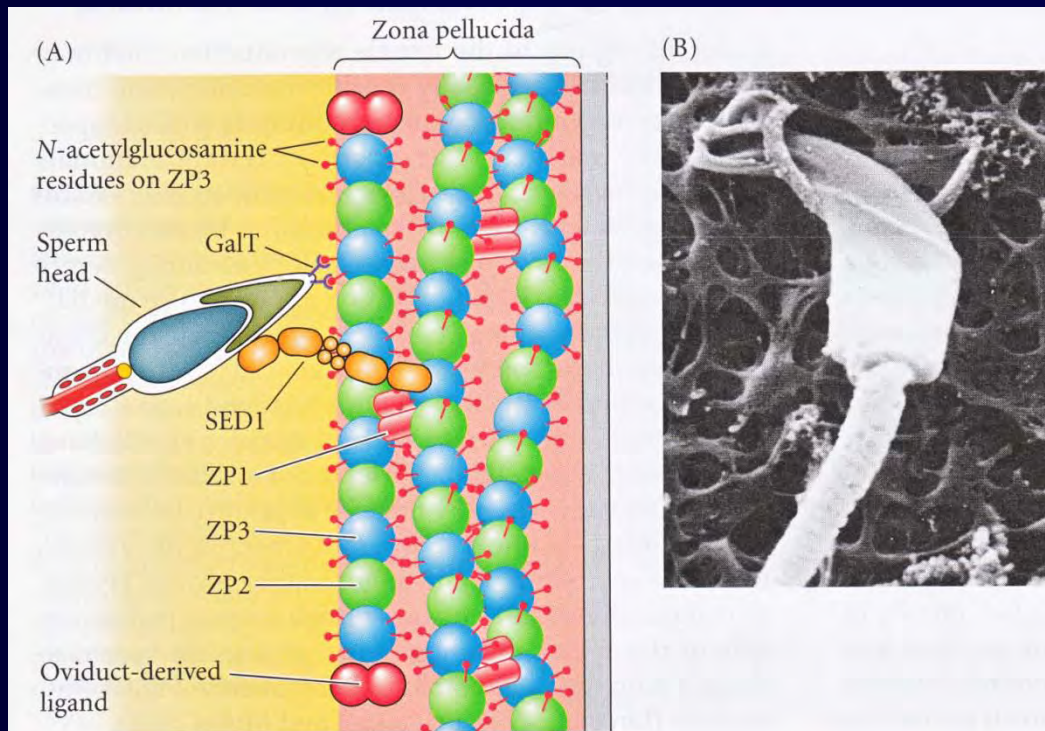
- 5-6 hodin (člověk)
- změny lipidů a glykoproteinů plazmatické membrány (ztráta cholesterolu → zvýšení fluidity)
- změna membránového potenciálu (efflux K^+)
- influx Ca^{+} a HCO_3^- → aktivace adenylátcyklázy → syntéza cAMP → indukce kapacitace
- zvýšení metabolismu a pohyblivosti spermie

Kontakt spermie a oocytu

- 300 miliónů spermíí v ejakulátu → 200 spermíí v místě fertilizace ve vejcovodu
- termotaxe, změna teploty až o $+2^\circ C$
- chemoatraktanty uvolňované folikulárními buňkami

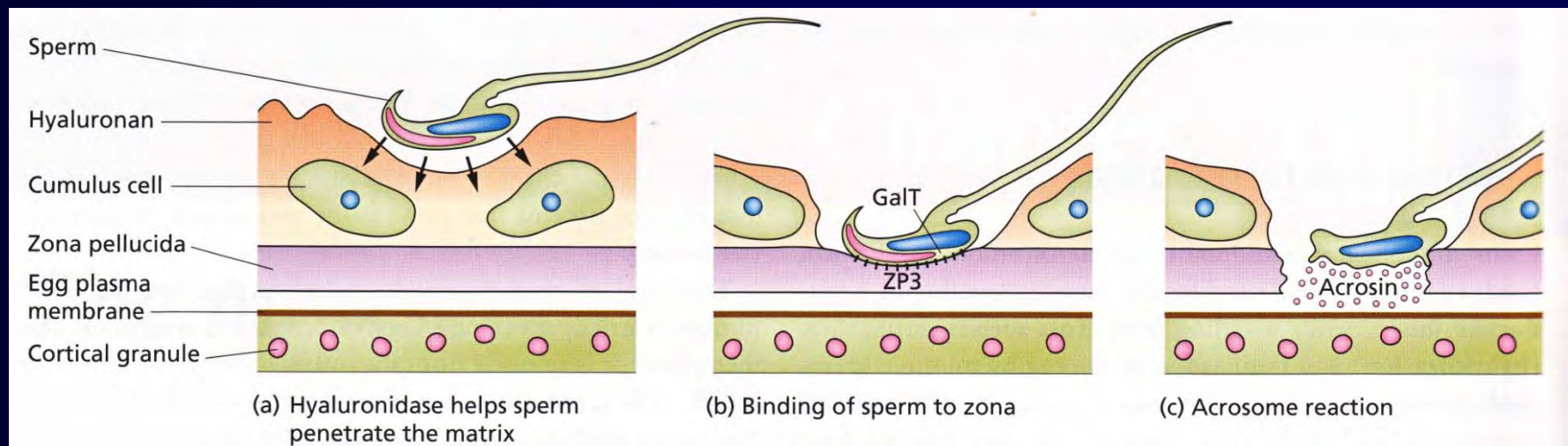
Zona pellucida

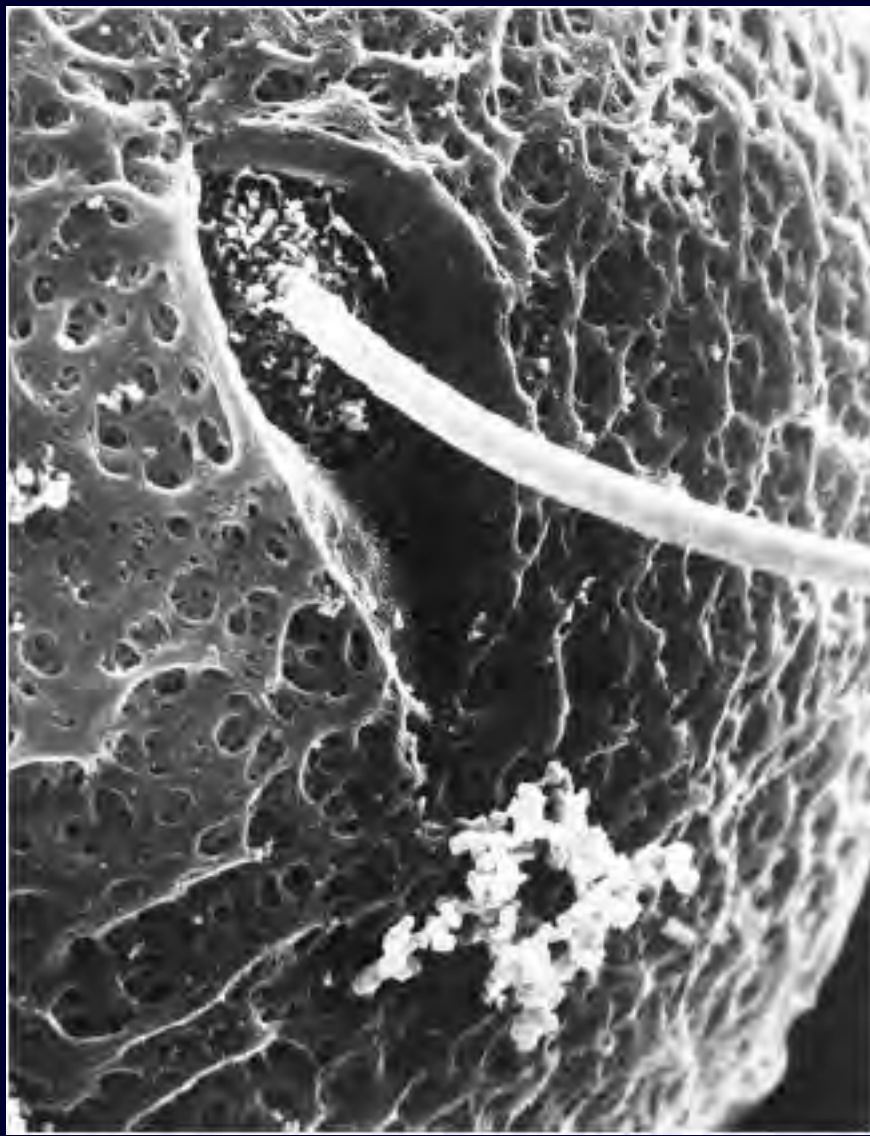
- extracelulární matrix oocytu (specifické složení)
- 3 typy glykoproteinů (ZP2+ZP3, ZP1)
- bariéra mezidruhové fertilizace
- ZP3 - receptor druhově specifické vazby, na něj se váže **GalT** (galaktosyl transferáza) spermie



Akrosomální reakce

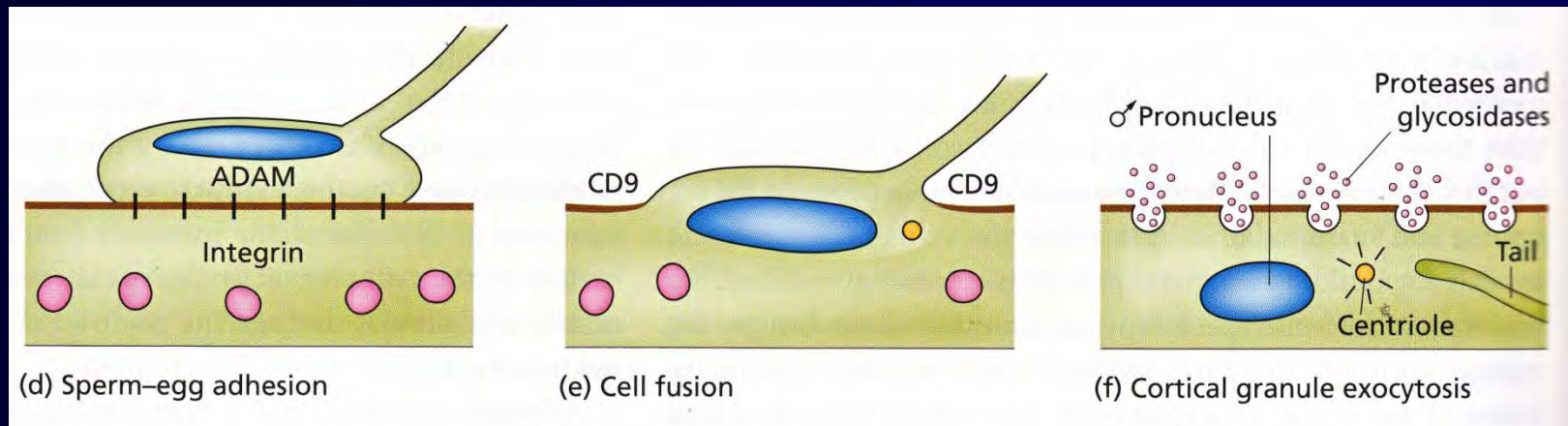
- obsah akrosomu uvolněn exocytózou
- vazba na ZP3 - indukuje zvýšení koncentrace Ca^{2+} v cytoplazmě spermíí → exocytóza
- hydrolytické enzymy → průchod zonou pellucidou
- vazba proteinů vnitřní akrozomální membrány spermie na ZP2





Mechanismus fúze spermie a oocytu

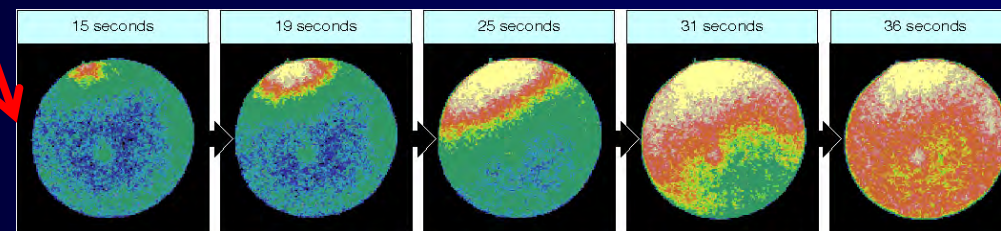
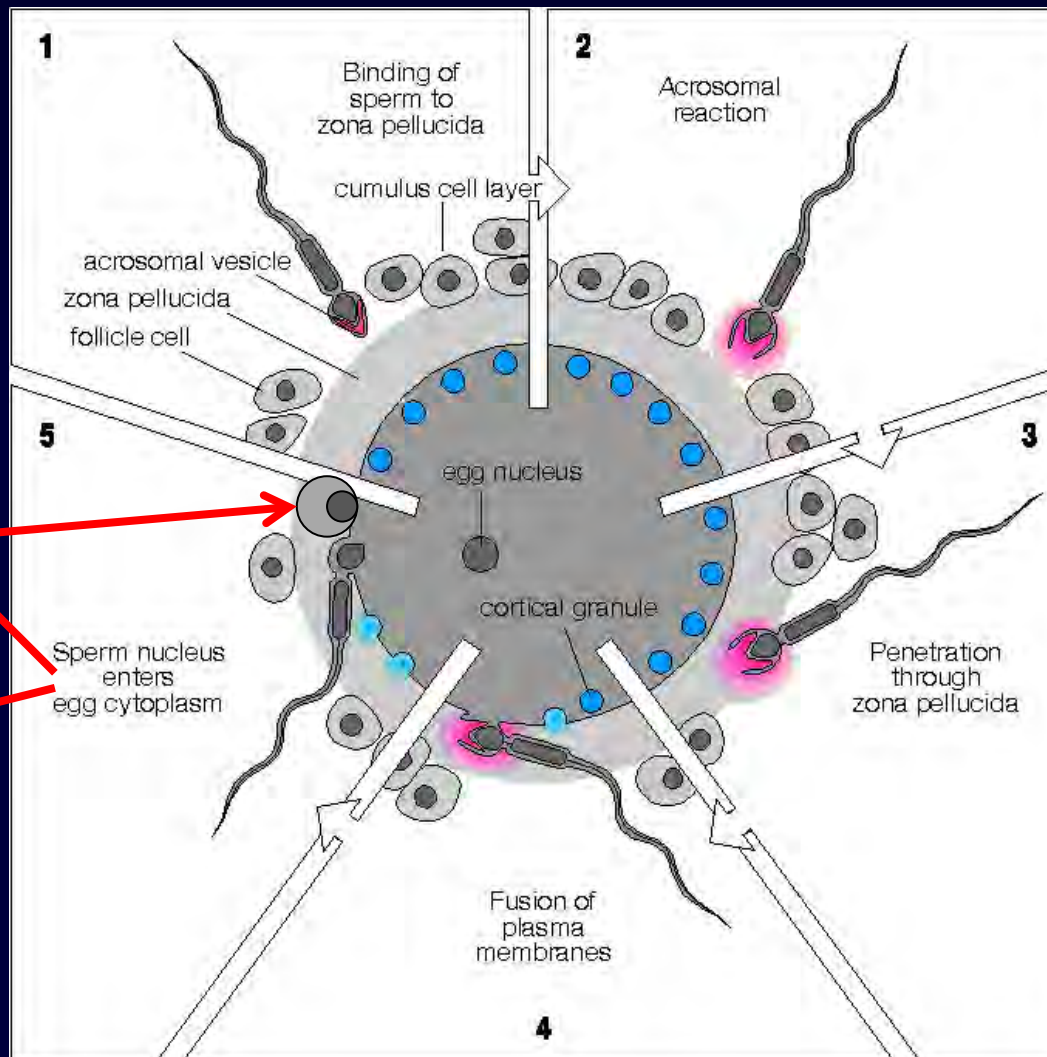
- u většiny druhů nejasný
- u myši: vazba proteinů **ADAM** na **integriny** oocytu
- **Fertiliny (α , β)** – patří do skupiny ADAM, transmembránové proteiny spermií s vazebnou doménou pro integriny oocytu
- **CD9** nutný pro fúzi plazmatických membrán
- po fúzi **exocytóza kortikálních granulí**



Průběh fertilizace

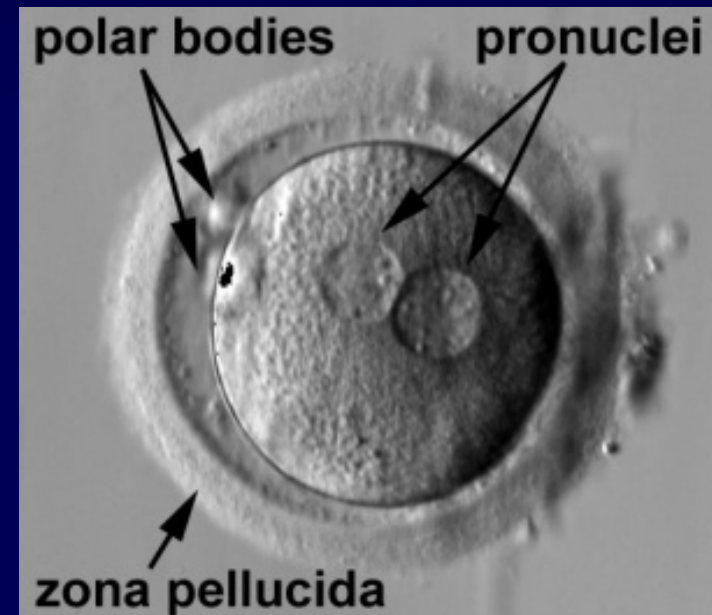
vznik polárního tělíska

změna konc. Ca^{2+}



Fúze prvojader

- u nižších živočichů ihned po fúzi gamet
- u savců pouze prostorové přiblížení prvojader
- dekondenzace chromatinu, replikace DNA
- přiblížení prvojader pomocí MT z centriolu spermie
- rozpad jaderných membrán
až při prvním mitotickém
dělení zygoty
- navázání chromozomů na
spindl tvořený z centriolu
spermie



Mechanismy blokující polyspermii

- primární blok:
depolarizace plazmatické membrány oocytu po fúzi s první spermii
- sekundární blok - kortikální reakce oocytu:
uvolnění obsahu kortikálních granulí → enzymy měnící vlastnosti zony pellucidy (štěpení ZP2, hydrolýza cukerných zbytků na ZP3)
- intracelulární zvýšení koncentrace Ca^{2+}
(vede k dokončení II. meiotického dělení)

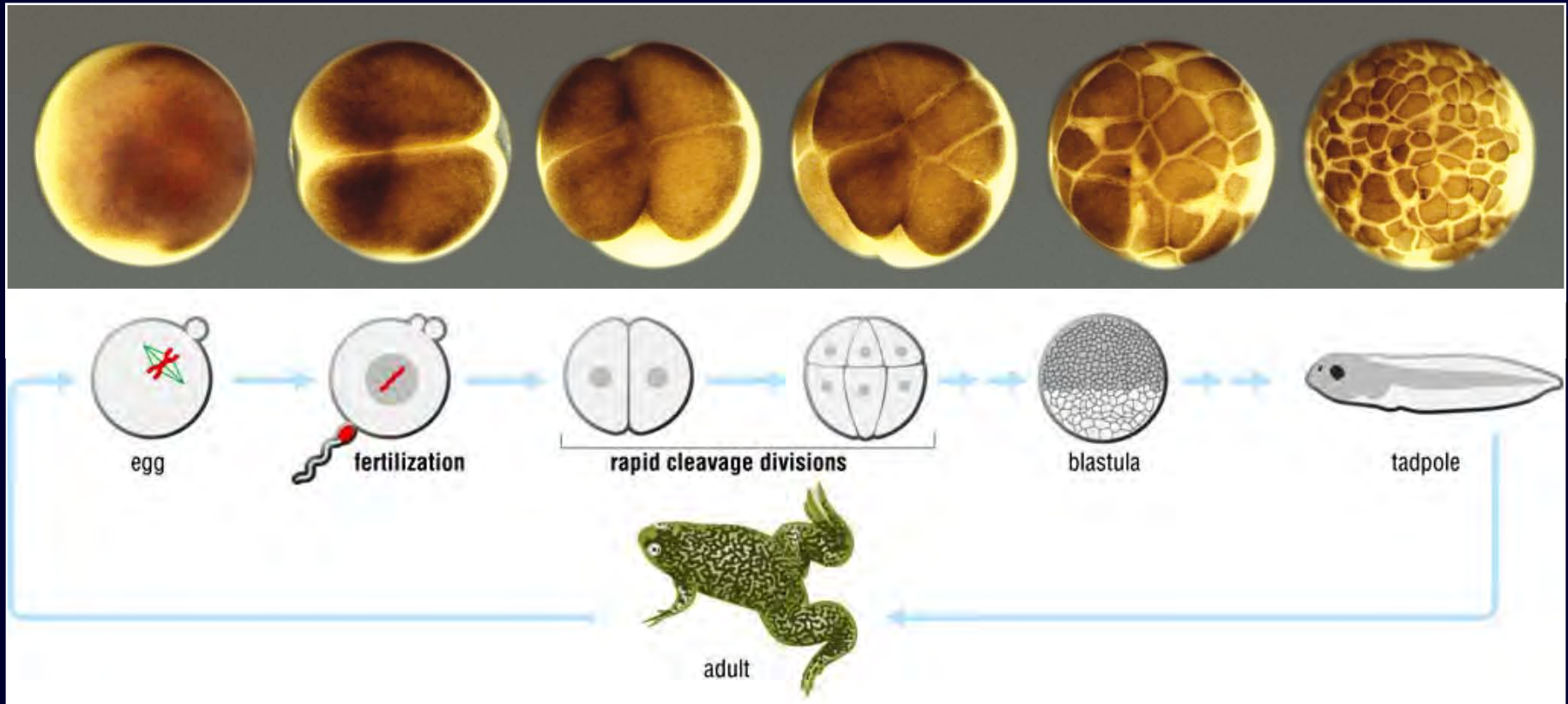
Důsledky polyspermie:

více centriolů → multipolární spindl → porucha segregace chromosomů → nondisjunkce → aneuploidie → zástava vývoje

ČASNÁ EMBRYOGENEZE

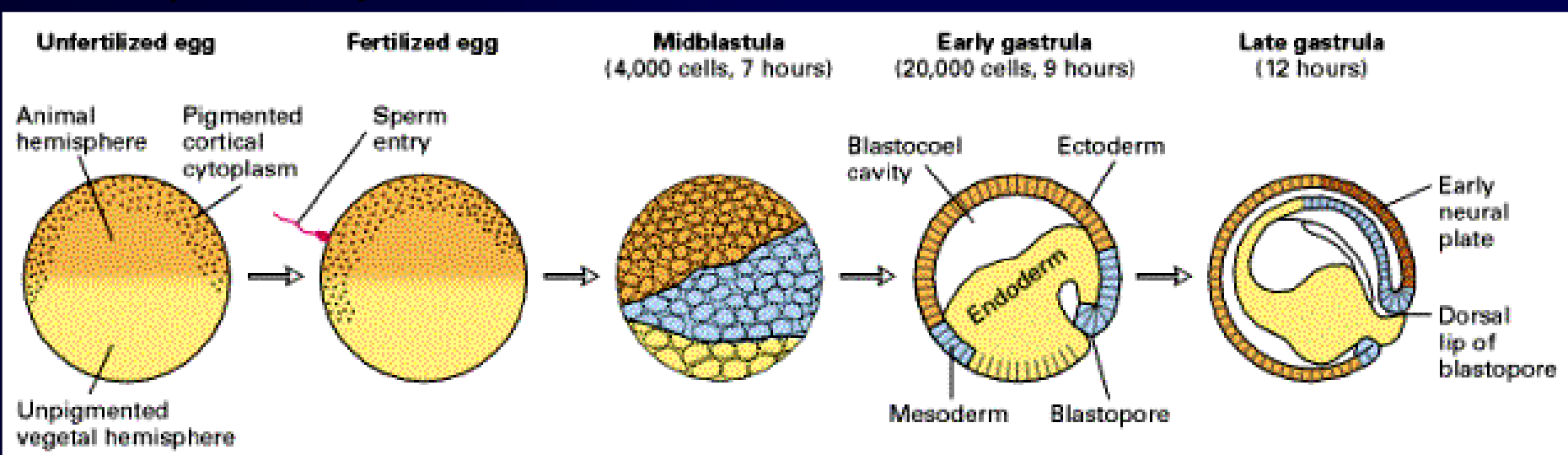
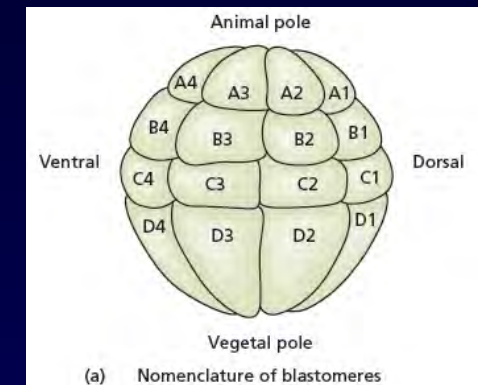
Časná embryogeneze u obojživelníků:

- velmi krátký buněčný cyklus (30 min)
- zmenšování objemu dceřinných buněk



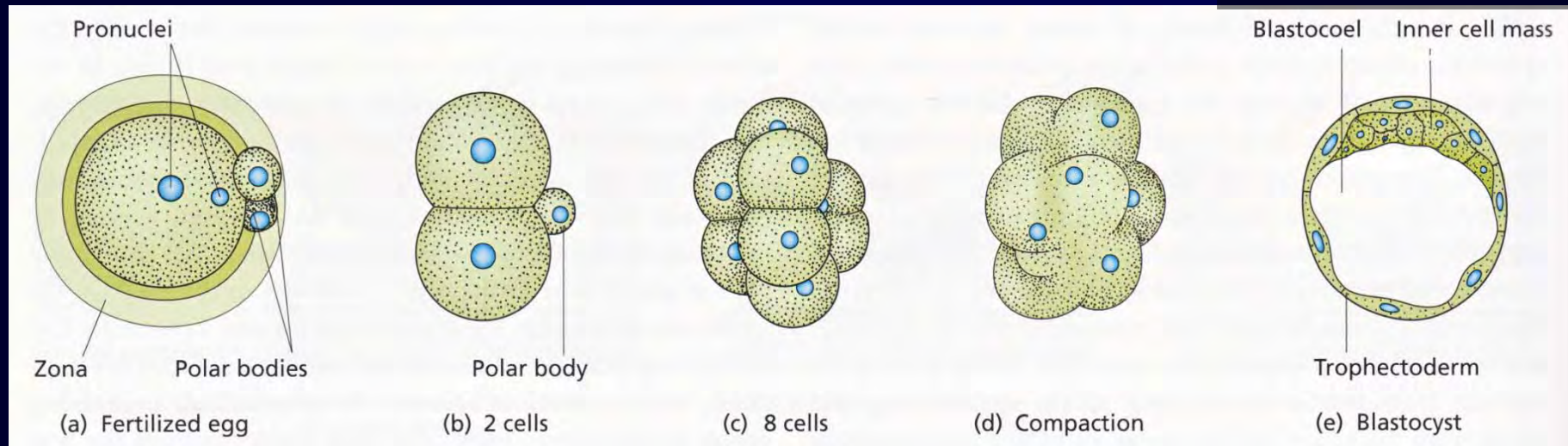
Časná embryogeneze u obojživelníků:

- 3 fáze vývoje: rýhování, gastrulace, neurulace
- celkem 24h
- 1. a 2. dělení vertikálně, 3. ekvatoriálně
- 5. dělení = 32 buněk = blastula
- 12. dělení = ± 4000 buněk = midblastula
- dělení už nejsou synchronizována, zpomalují se



Časná embryogeneze u savců:

- zygota – 1. dělení po 24h, 2. a 3. po dalších 12h
- vznik blastomer
- morula - do 32 buněk
- blastocysta – od 64 buněk,
trofoektoderm (3/4), inner cell mass
= ICM (1/4), blastocoel, zona pelucida

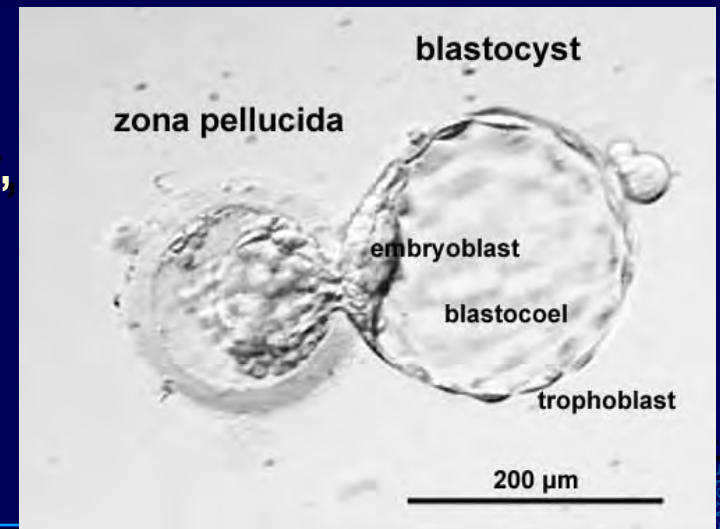


Gustav Klimt – Danae (1908)

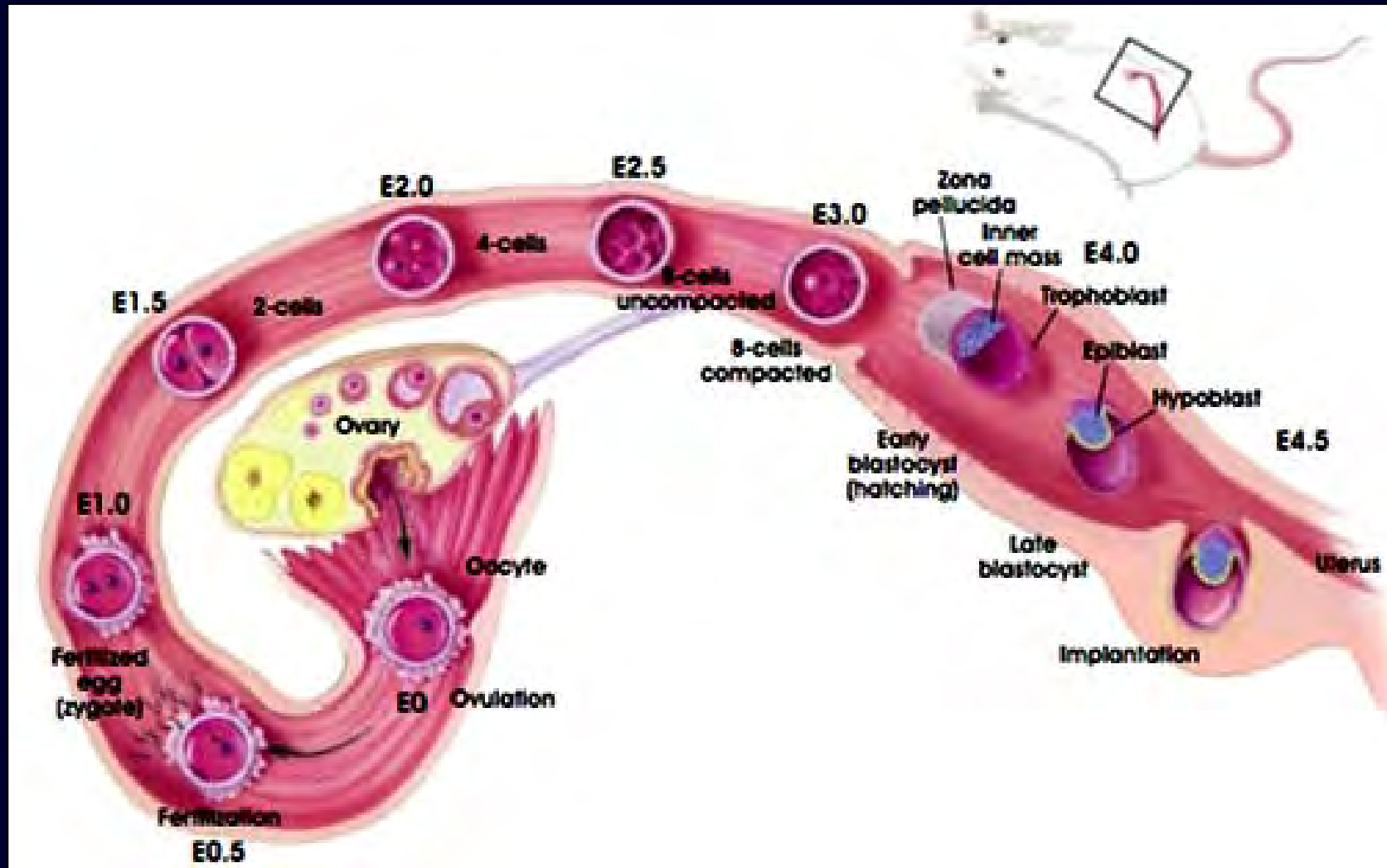


Časná embryogeneze u savců:

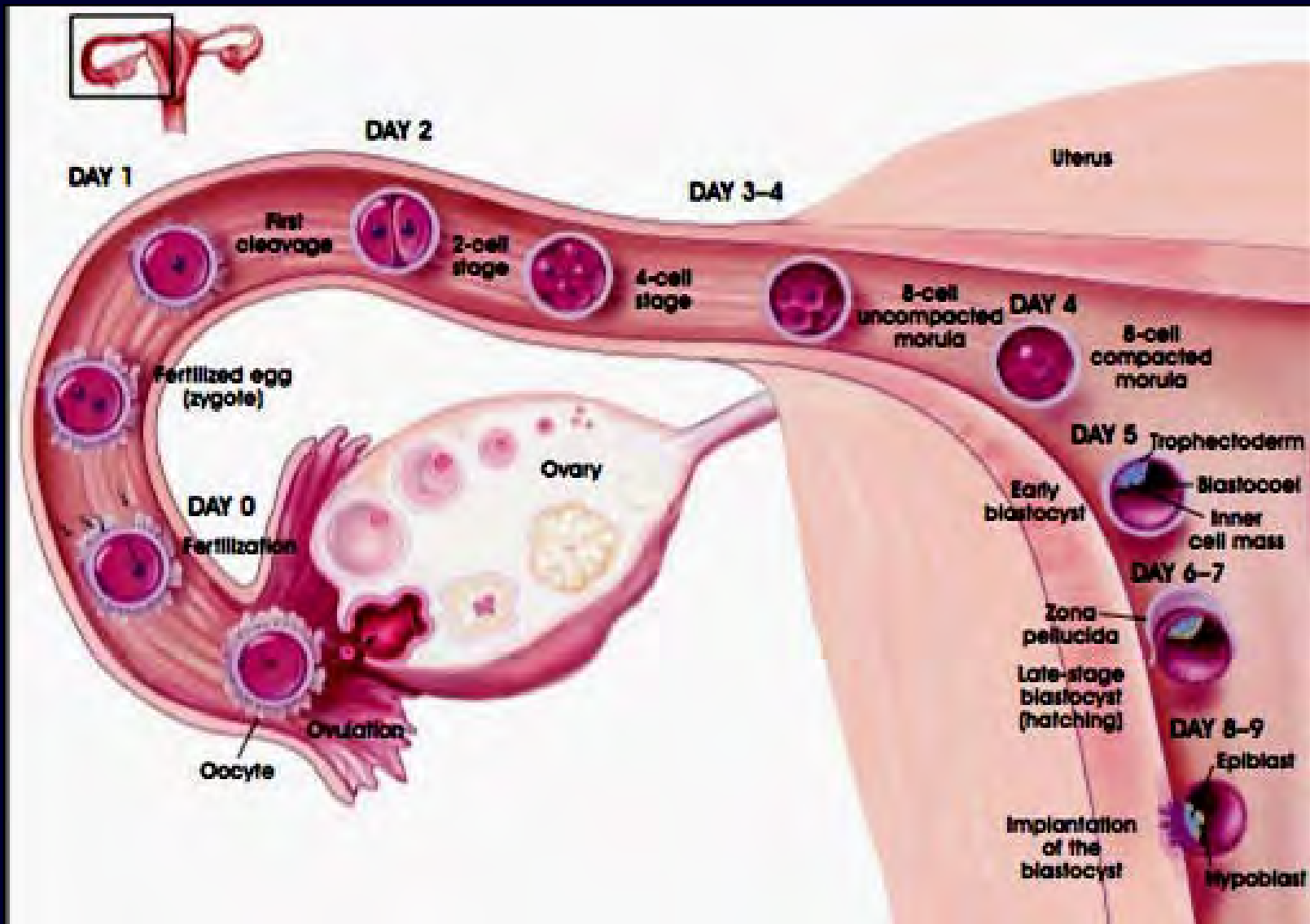
- diferenciace trofoektodermu
 - a) polární část – přiléhá k ECM, proliferuje
 - b) murální část – kolem blastocoelu, velké polyploidní b.
- diferenciace ECM
 - a) epiblast – základ pro 3 zárodečné vrstvy
 - b) hypoblast – extraembryonální tkáň
- **Hatching** – opuštění zony pelucidy, v děloze, proteolytické enzymy produkované trofoblastem



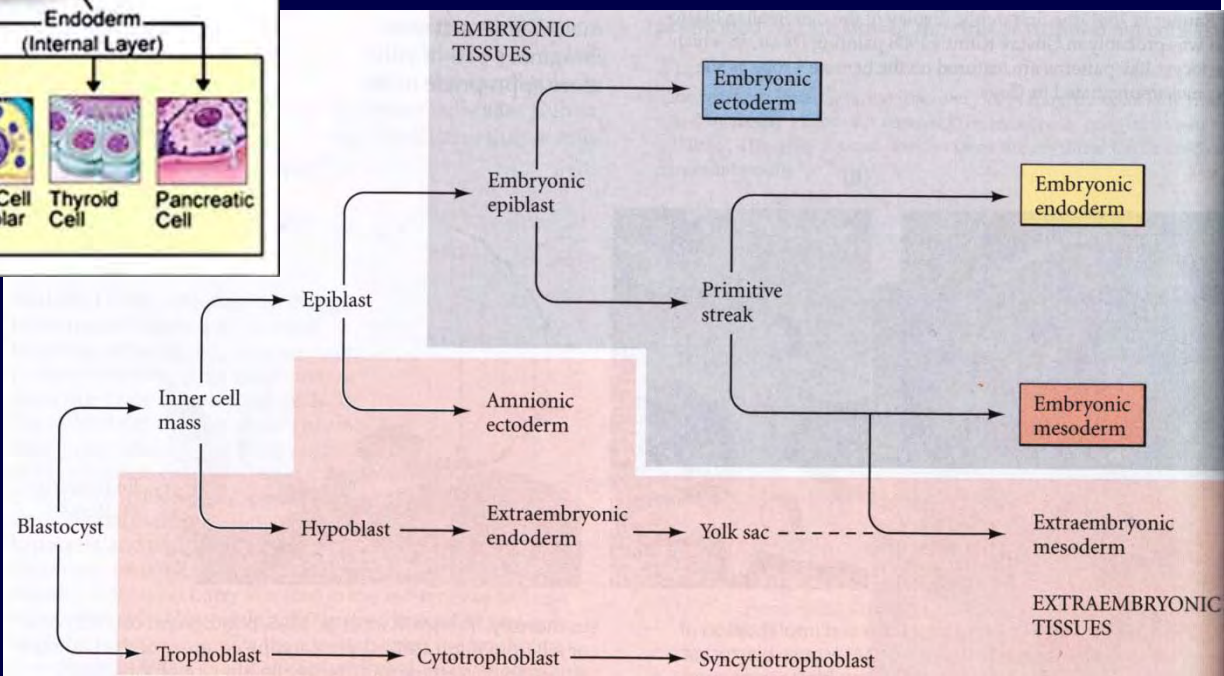
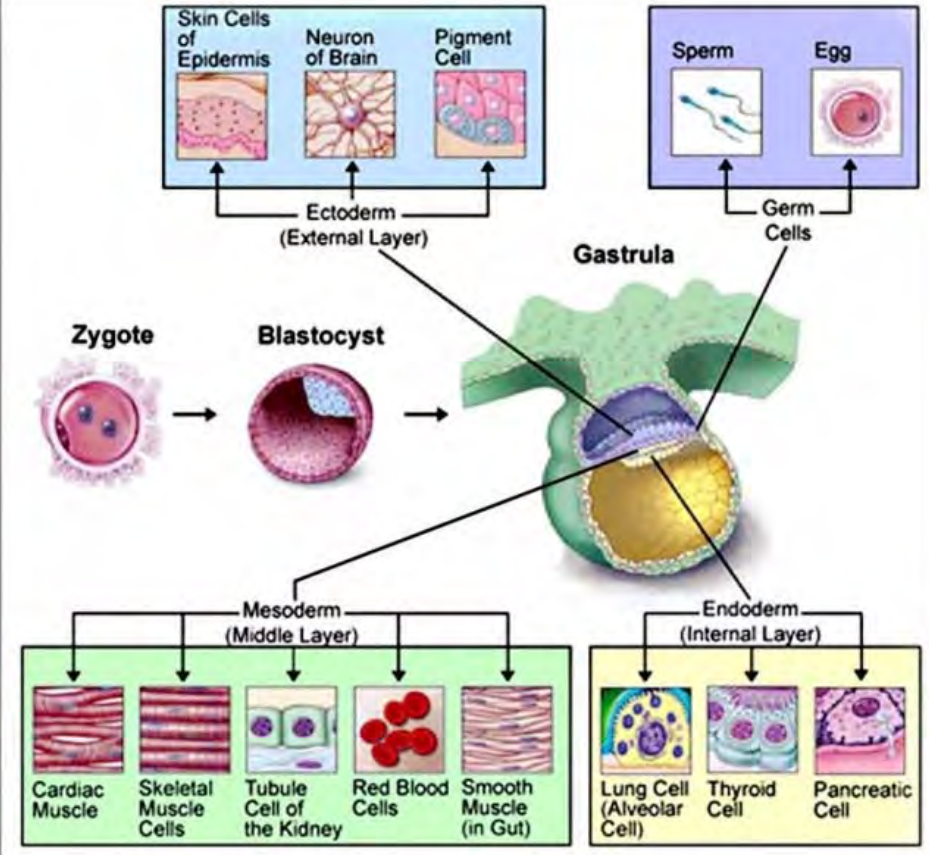
Průběh časné embryogeneze u myši



Průběh časné embryogeneze u člověka

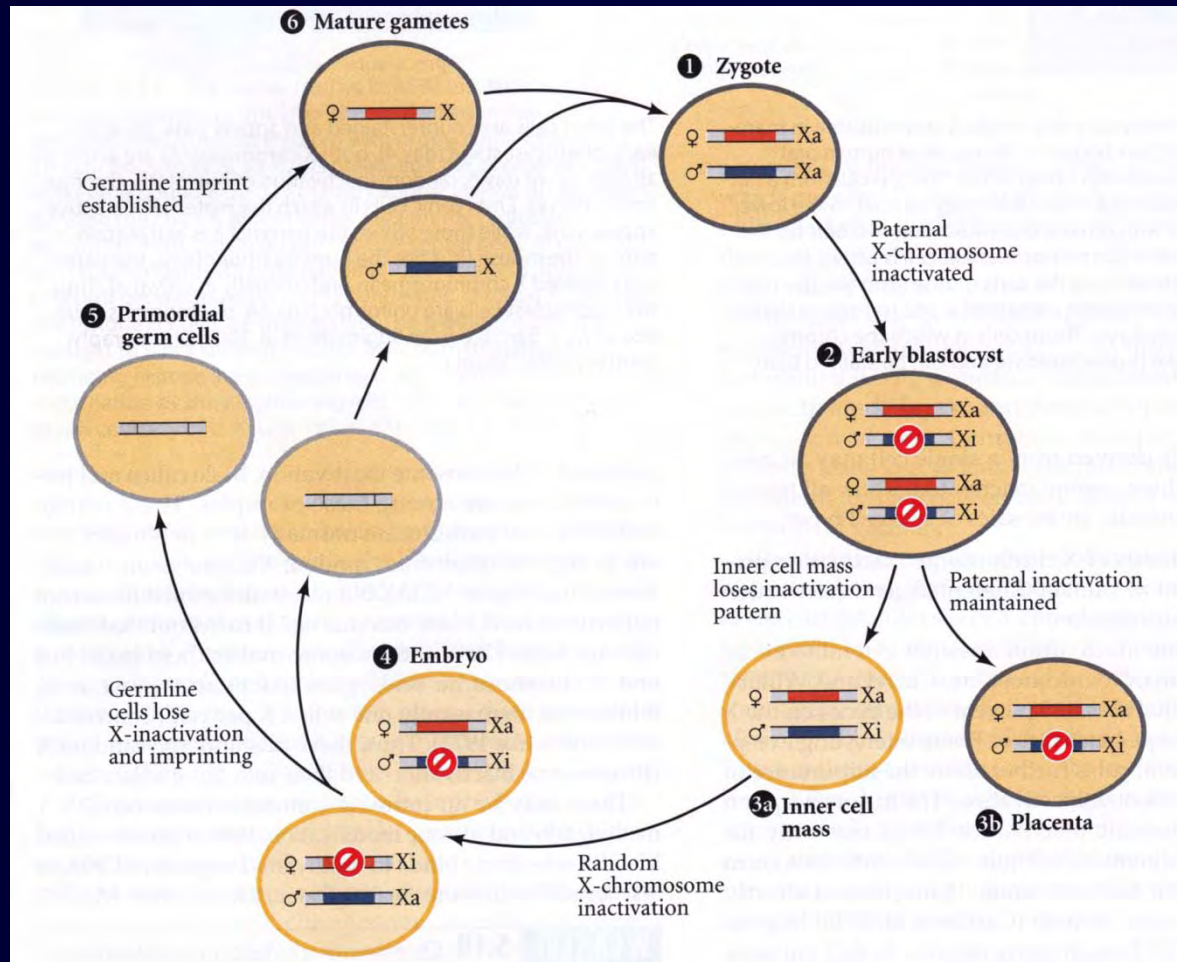


Tvorba a umístění zárodečných listů u lidského embrya



Inaktivace chromozomu X

- v časné blastocystě inaktivace paternálního X
- zůstává inaktivován v extraembryonálních tkáních
- v ICM se inaktivace ztrácí - později náhodná inaktivace



TVORBA HYBRIDŮ A CHIMÉR

HYBRID

- z genetického pohledu
potomek vzniklý pohlavním rozmnožováním dvou odlišných homozygotů stejného druhu => heterozygot
- z taxonomického pohledu
potomek vzniklý z křížení mezi 2 jedinci odlišného taxonu
 - v rámci druhu (poddruhy)-tygr bengálský x sibiřský
 - mezi druhy - tygr x lev
 - mezi rody - ovce x koza
 - mezi čeleděmi - výjimečně
 - mezi řády - u živočichů není známo

MEZIDRUHOVÝ HYBRID

- křížení v rámci rodu
- potomek fenotypově podobný rodičům
- často infertilní (různý počet chromosomů)
- odlišnosti v námluvních rituálech, páření a chování
- jiná sezóna páření
- antigenní reakce na spermie

mul, mezek (63 chr.)
osel (62 chr.) x kůň (64 chr.)



klisna x osel

oslice x hřebec

zeedonk, zonkey

osel (62 chr.) x zebra (32- 46 chr.)



liger, tigon

lev (38 chr.) x tygr (38 chr.)



MEZIRODOVÝ HYBRID

- křížení odlišných rodů
- přirozeně výjimečný výskyt (Toast of Botswana)
- možnost (nutnost) asistované inseminace (cama)

„**Toast of Botswana**“ (57 chr.) r.2000
ovce (54 chr.) x koza (60 chr.)
odliš Geep = chiméra



cama velbloud (74 chr.) x lama (74 chr.)



CHIMÉRA

řecky Xīmuīpa (Chímaira); latinsky *Chimaera*



CHIMÉRA

organismus obsahující alespoň 2 geneticky odlišné buněčné populace původem z odlišných zygot

Vznik:

- ze 4 buněk- dvě zygoty (tetragametická ch.)
- ze 3 buněk – (partenogenetická ch.)
- transplantací kostní dřeně (přenos kmenových buněk)
- spojením cévních oběhů (anastomózy) u dvojvaječných dvojčat
- z časného embrya a diploidních buněk (fúzí, injekcí)

Tetragametický chimerismus

- vrozený chimerismus - u lidí výjimečně (běžné u primátů)
- spojením dvou zygot (časných embryí)
- riziko i při asistované reprodukci
- organismus obsahuje dvě odlišné sady chomozomů
- orgány a tkáně mají jiný původ
- viditelné rozdíly: barva očí, vlasů, „Hitchhiker's thumb,, (AR), Blaschkovy linie, pohlaví může být hermafroditní (46,XX/46,XY), 2 populace krvinek (imunologická tolerance obou skupin)

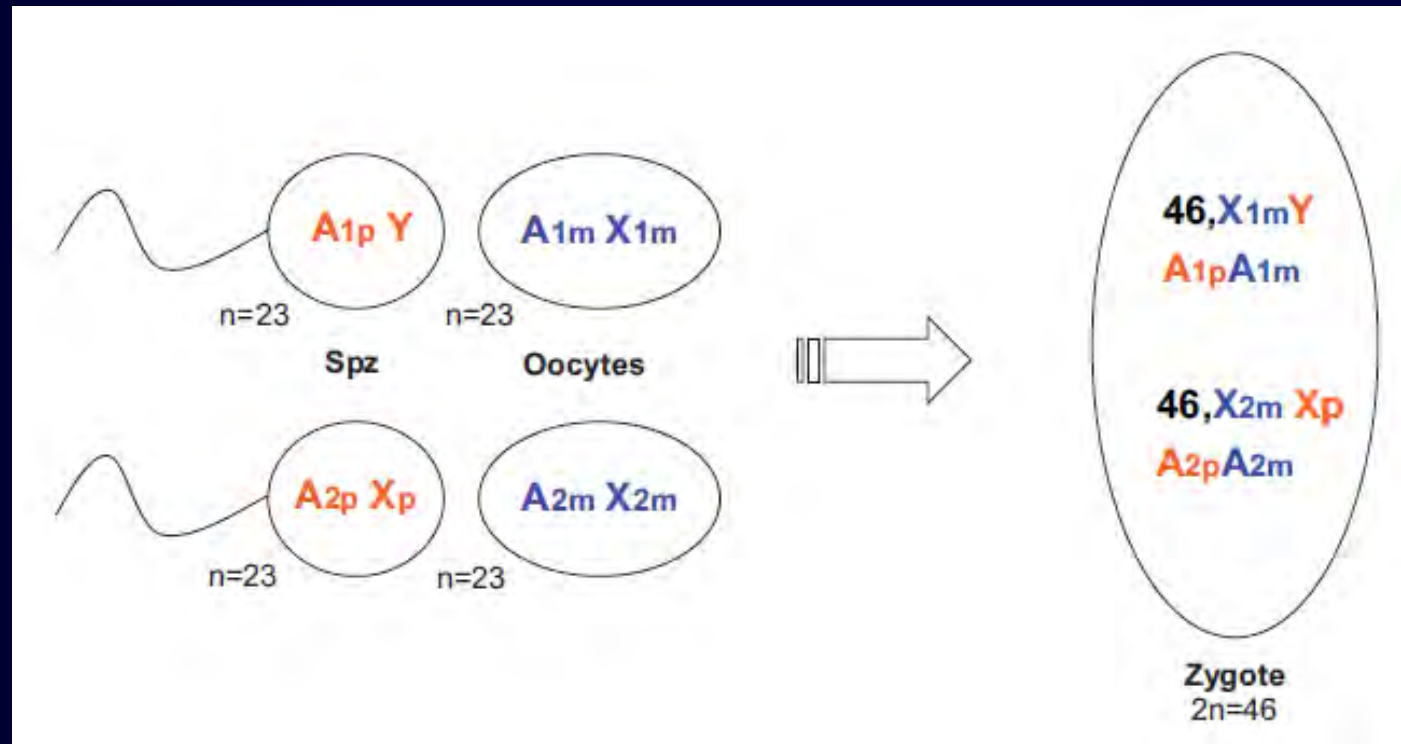
Hitchhiker's thumb



Blaschkovy linie

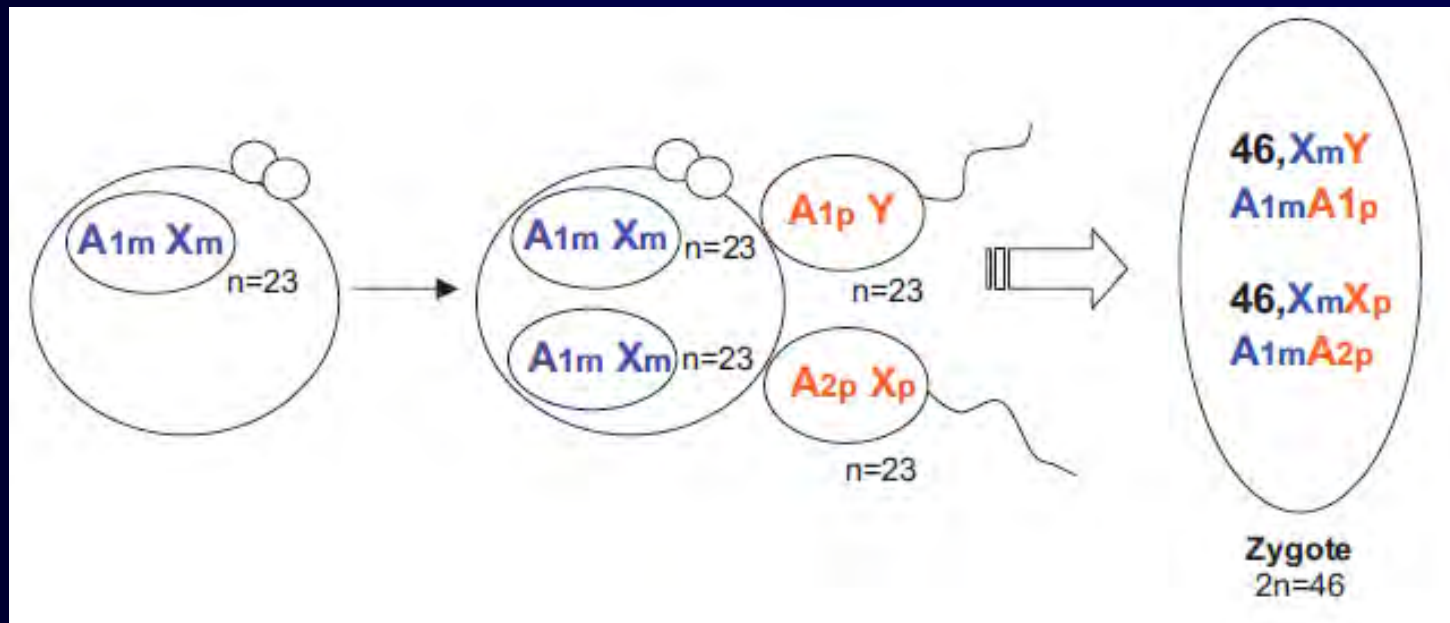


Tetragametický chimerismus



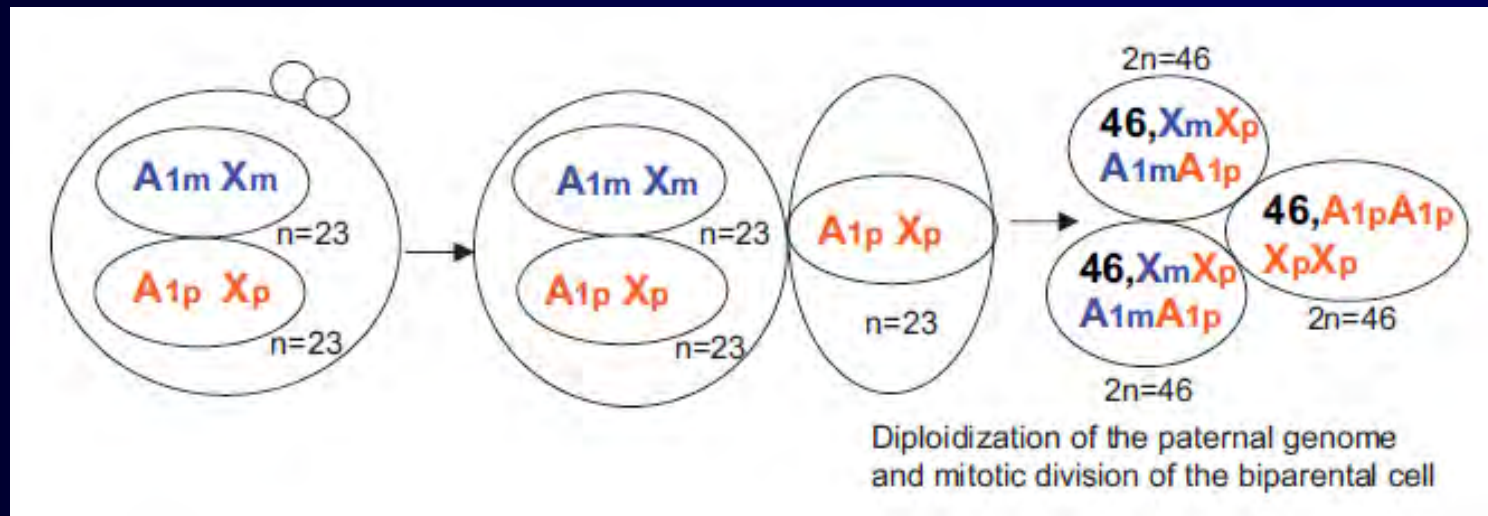
Partenogenetický chimerismus

- oocyt podléhá partenogenezi a rozdělí se
- vznik 2 haploidních buněk
- oplozeny 2 spermii



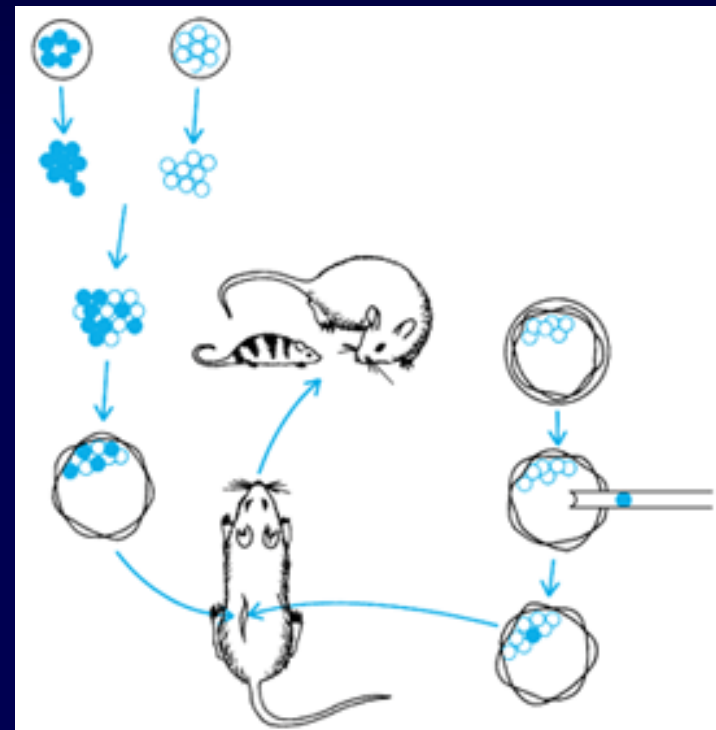
Androgenetický chimerismus

- standardní fertilizace oocytu spemií (23,X)
- vznik sekundárního polárního tělíska
- endoreplikace parentálního prvojádra
- vznik 1 diploidní buňky (46,XX) a 1 haploidní (23,X)
- haploidní buňka podléhá endoreplikaci
->androgenetická linie



VYUŽITÍ CHIMÉR VE VÝZKUMU

- studium vývoje savčího embryogeneze
- ověření podílu kménových buněk na vývoji embrya
- tvorba „nových druhů“
- medicínský význam
- příprava - aggregačně
- injikačně



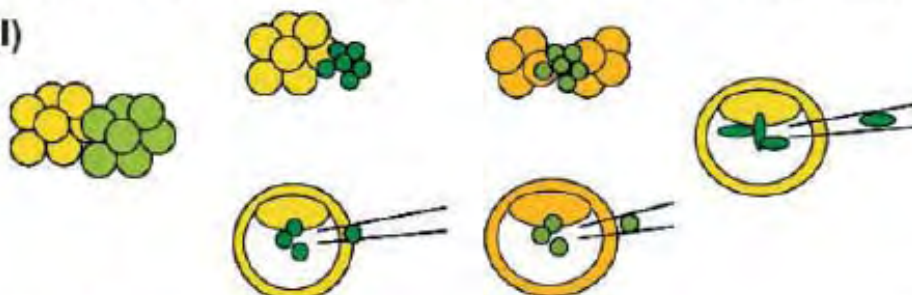
Embryo ↔ Embryo

ES cells ↔ Embryo

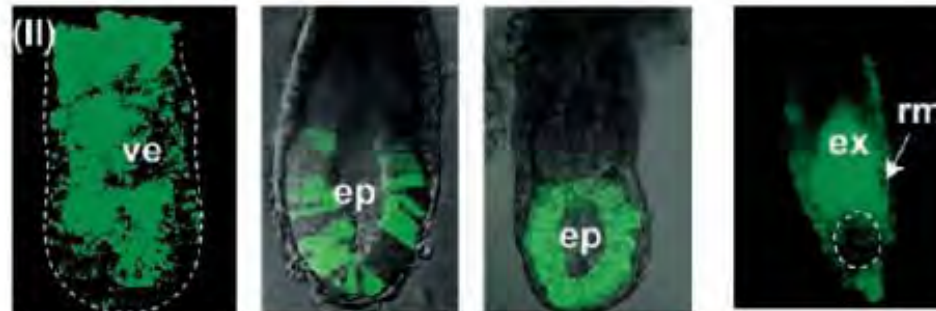
ES cells ↔ 4N embryo

TS cells ↔ Embryo

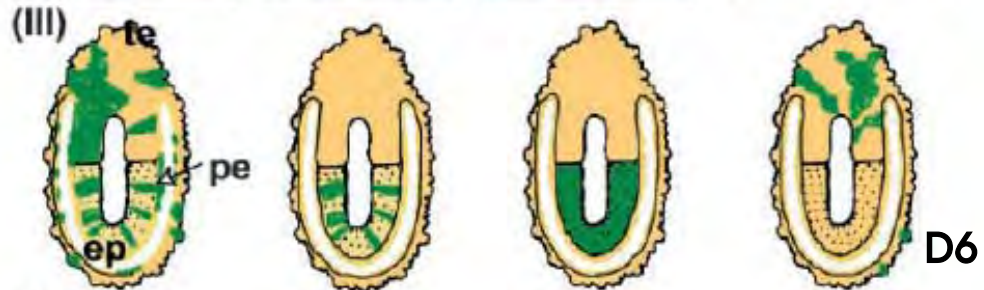
(I)



(II)



(III)



D6

(IV)



D9.5

Mouse embryonic chimeras: tools for studying mammalian development

Patrick P. L. Tam¹ and Janet Rossant²

¹Embryology Unit, Children's Medical Research Institute, University of Sydney, Westmead, New South Wales, Australia

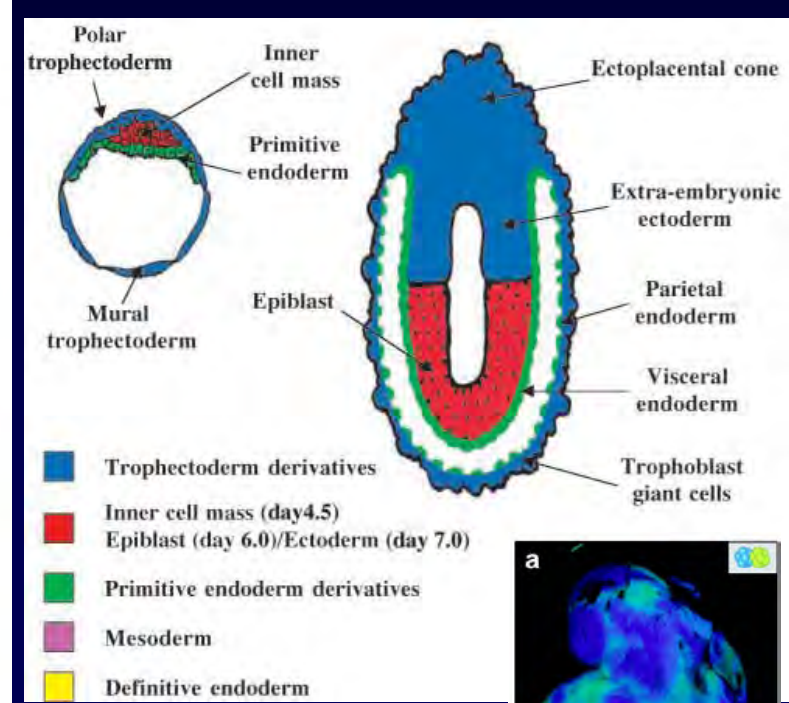
²Samuel Lunenfeld Research Institute, Mount Sinai Hospital, Toronto, Ontario, Canada

e-mail: ptam@cmri.usyd.edu.au and rossant@mshri.on.ca

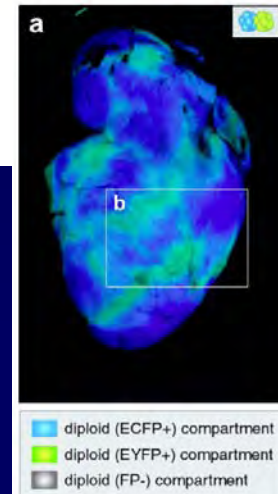
Development 130, 6155-6163

Published by The Company of Biologists 2003

doi:10.1242/dev.00893



srdce chimerické
myši



A population of very small embryonic-like (VSEL) CXCR4⁺SSEA-1⁺Oct-4⁺ stem cells identified in adult bone marrow

M Kucia¹, R Reca¹, F R Campbell¹, E Zuba-Surma¹, M Majka¹, J Ratajczak¹ and M Z Ratajczak¹

¹Stem Cell Biology Program at James Graham Brown Cancer Center, University of Louisville, Louisville, KY, USA

Correspondence: Professor MZ Ratajczak, Stem Cell Biology Program, James Graham Brown Cancer Center, University of Louisville, Louisville, KY 40202, USA. E-mail: mzrata01@louisville.edu

Received 29 January 2006; Accepted 10 February 2006; Published online 23 February 2006.

počet: cca 0,02% BM MNC

definice: Sca-1⁺ (stem cell antigen-marker HSC)

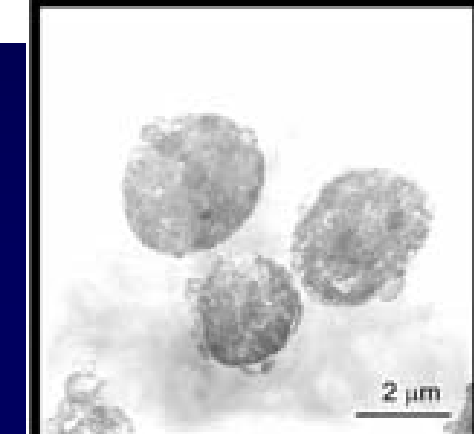
lin⁻ (lineage-negative)

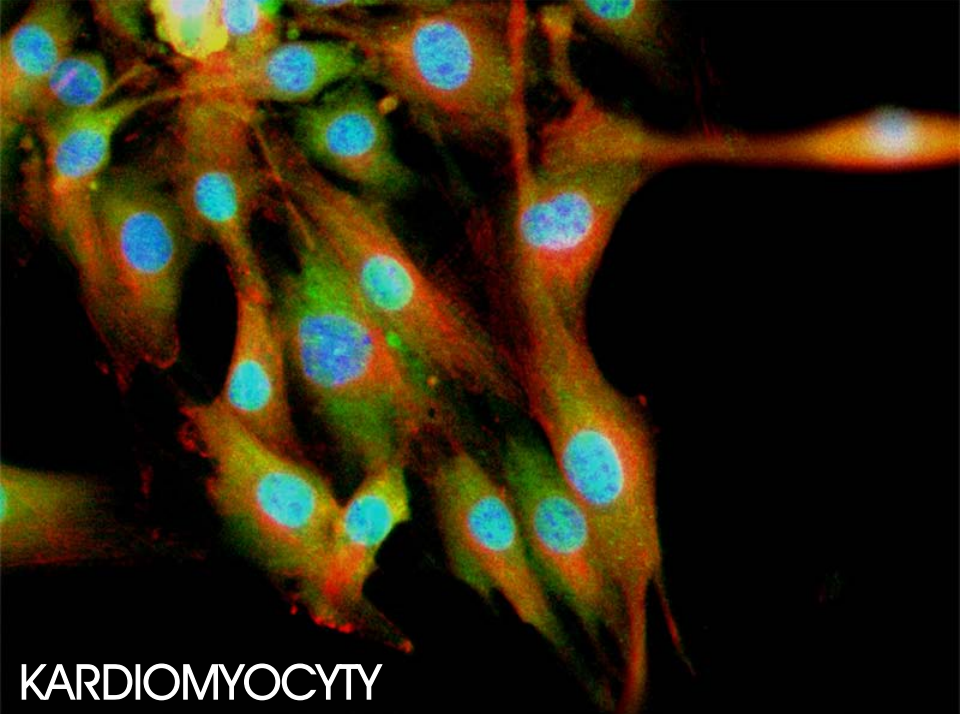
CD45⁻ (Leukocyte Common Antigen)

exprimují: SSEA-1, Oct-4, Nanog, Rex-1

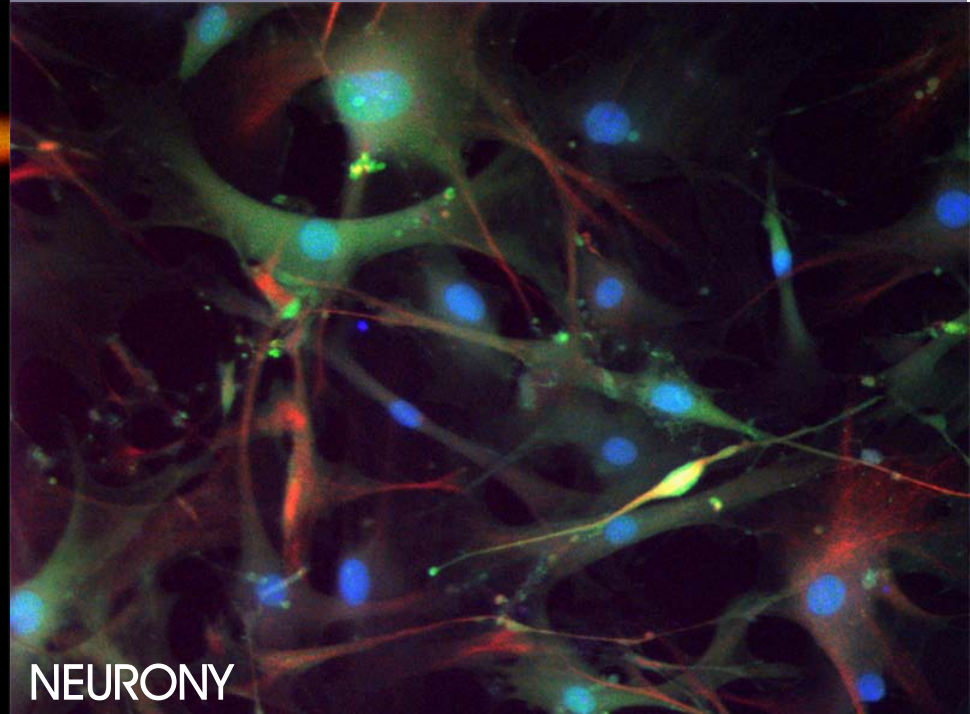
velikost: 2-4 μ m

schopnost diferenciace do různých linií 3 zárodečných vrstev

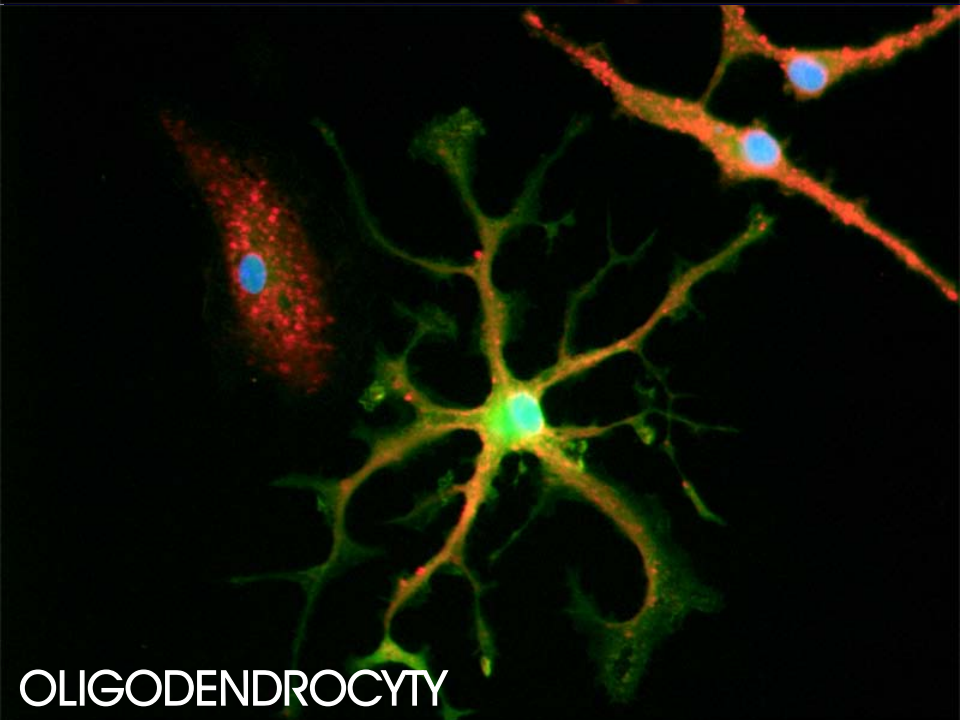




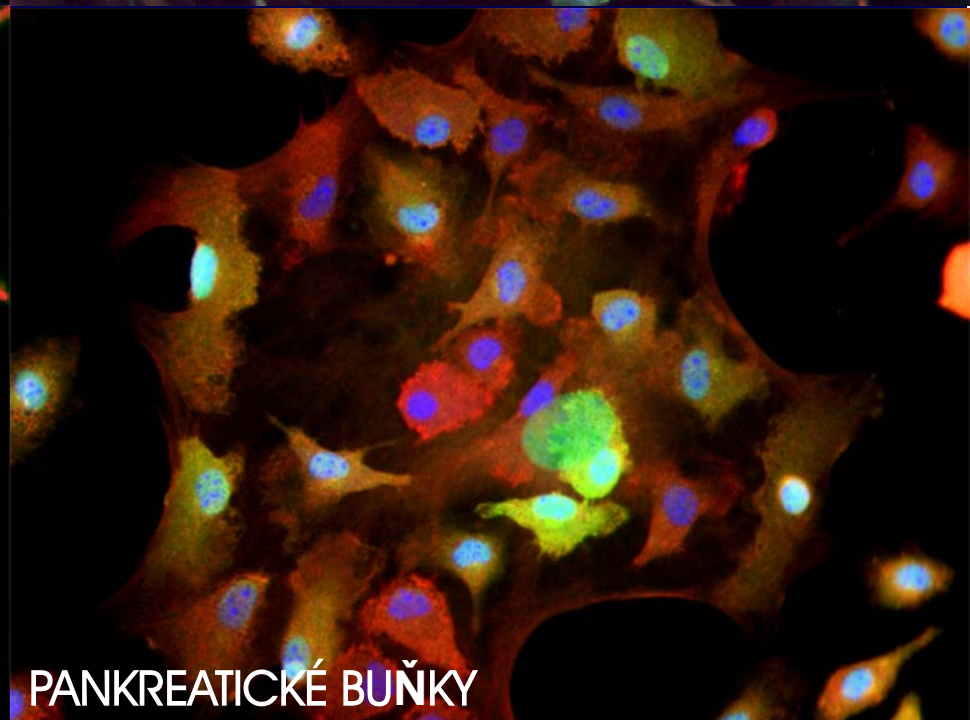
KARDIOMYOCYTY



NEURONY



OLIGODENDROCYTY



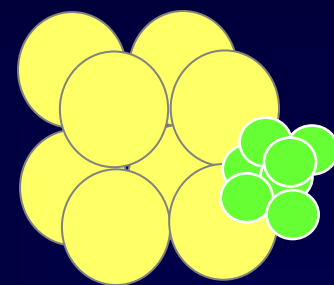
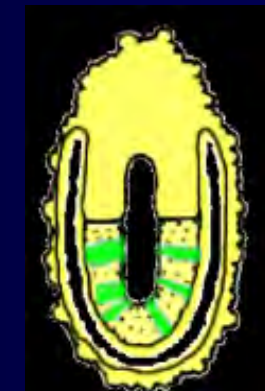
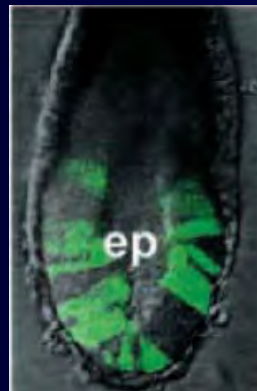
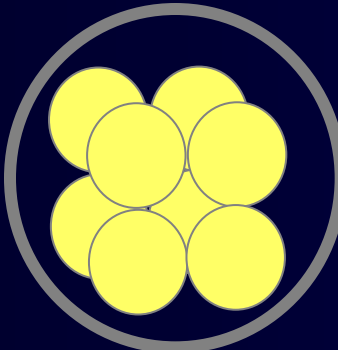
PANKREATICKÉ BUŇKY

Schéma experimentu

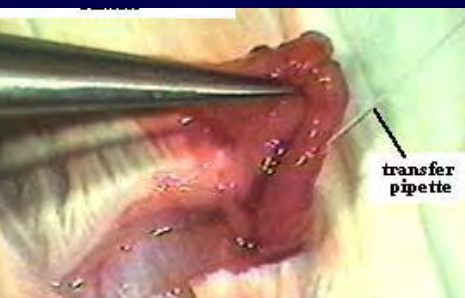
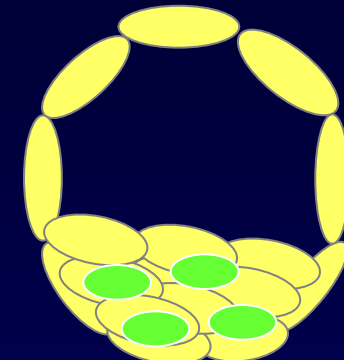
VSEL (GFP+)



8-cell embryo

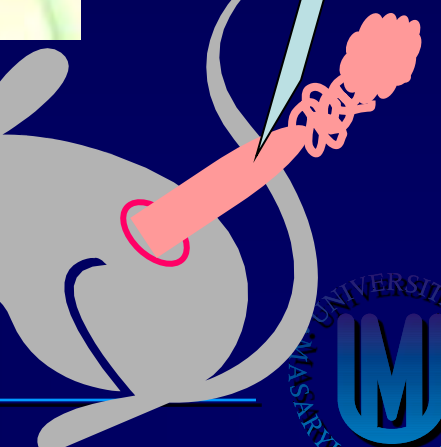


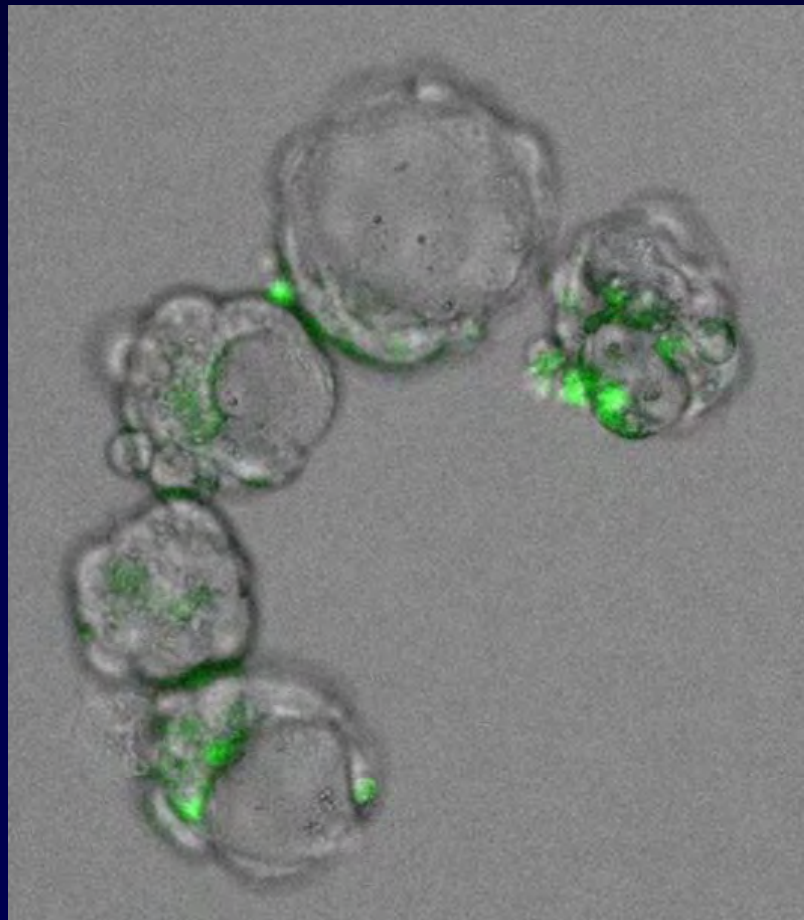
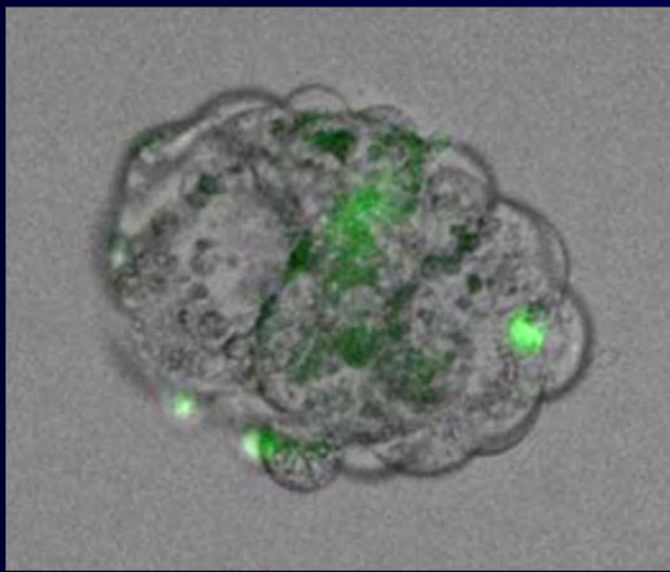
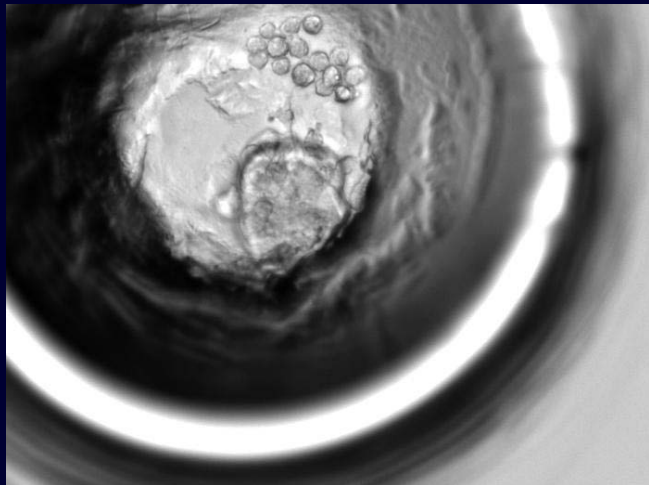
24 h

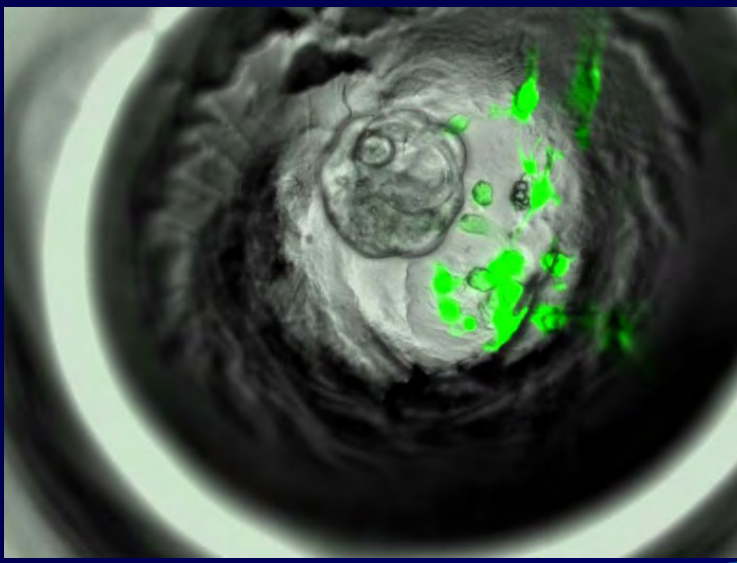
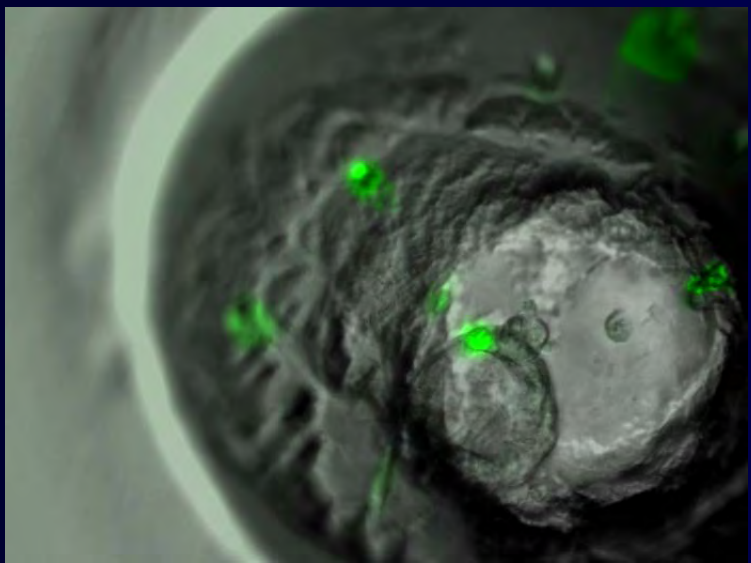
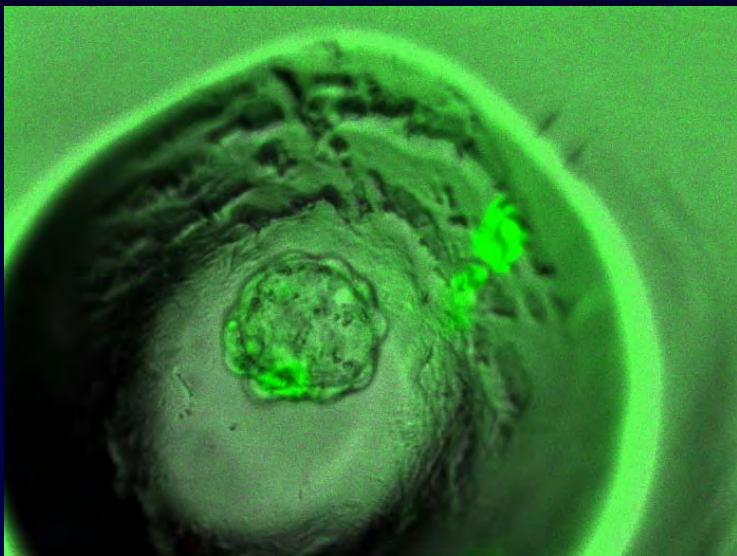
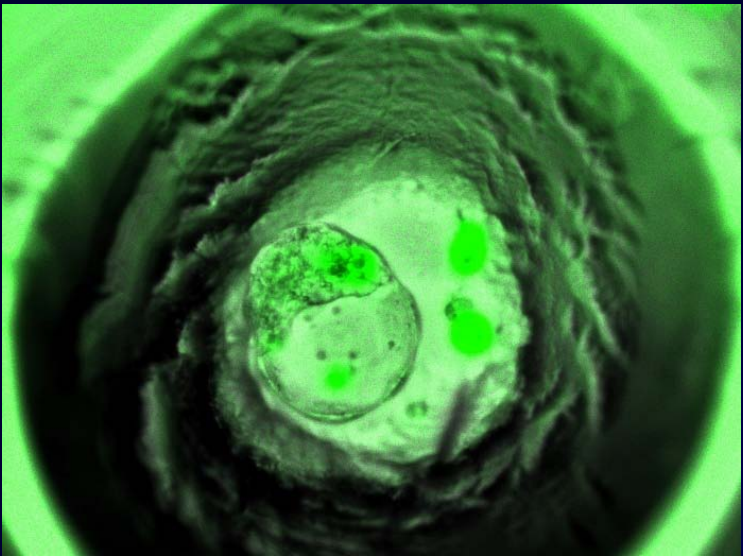


transfer
pipette

3-4 dny







Chiméry: tvorba „nových druhů“

geep (kovce?) chiméra kozy a ovce (ne hybrid)
poprvé v roce 1978 Austrálie, Dr R.S. White



Chiméry: medicínský význam



Critical Reviews in Oncology/Hematology 15 (1993) 35–48

Critical Reviews in
ONCOLOGY/
HEMATOLOGY

In utero transplantation of hematopoietic stem cells

Alan W. Flake^a, Esmail D. Zanjani*,^b

^aDepartment of Surgery, Division of Pediatric Surgery, Fetal Treatment Program, University of California, San Francisco and ^bDepartment of Medicine, Veterans Affairs Medical Center, Reno, NV and Fetal Treatment Program, University of California, San Francisco, USA

Výzkum krvetvorby a krevních chorob:

- hematopoetické kmenové b. z lidských fetálních jater
- intraperitoneální injekce do fetu ovce
- lymfoidní prekurzory přetrvaly až 3,5 roku po transplantaci

Formation of human hepatocytes by human hematopoietic stem cells in sheep

Graça Almeida-Porada, Christopher D. Porada, Jason Chamberlain, Ali Torabi, and Esmail D. Zanjani

We took advantage of the proliferative and permissive environment of the developing preimmune fetus to develop a non-injury large animal model in sheep, in which the transplantation of defined populations of human hematopoietic stem cells resulted in the establishment of human hematopoiesis and led to the formation of significant numbers of long-lasting, functional human liver cells, with some animals exhibiting levels as high as 20% of donor (human) hepatocytes 11 months after transplantation. A direct correlation

was found between hepatocyte activity and phenotype of transplanted cells, cell dose administered, source of cells used on a cell-per-cell basis (bone marrow, cord blood, mobilized peripheral blood), and time after transplantation. Human hepatocytes generated in this model retained functional properties of normal hepatocytes, constituted hepatic functional units with the presence of human endothelial and biliary duct cells, and secreted human albumin that was detected in circulation. Transplanting popu-

lations of hematopoietic stem cells can efficiently generate significant numbers of functional hepatic cells in this non-injury large animal model and thus could be a means of ameliorating or curing genetic diseases in which a deficiency of liver cells or their products threatens the life of the fetus or newborn. (Blood. 2004;104: 2582-2590)

© 2004 by The American Society of Hematology

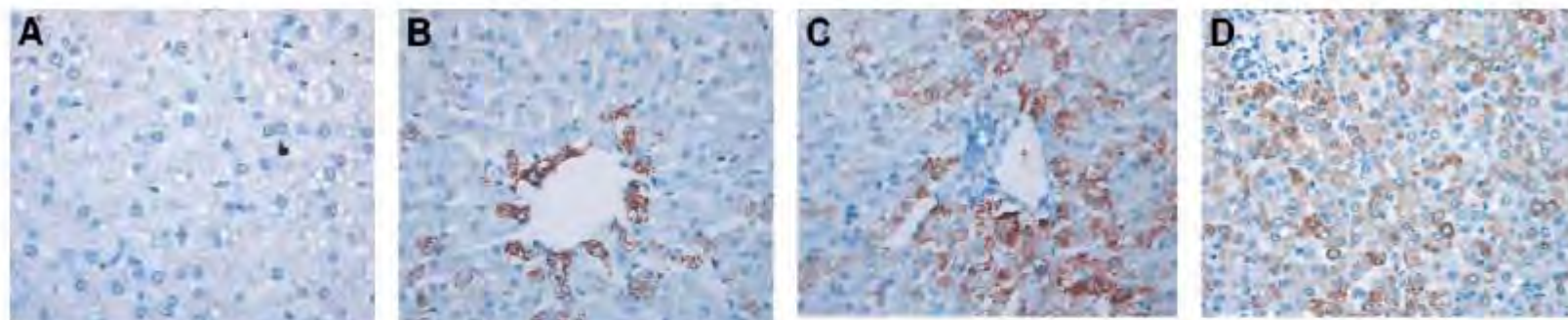


Figure 1. Adult human HSCs generate significant numbers of hepatocytes in a noninjury fetal model. (A) Control sheep liver section (nontransplanted) stained with an antibody antihuman hepatocyte (clone OCH1E5) as described in "Materials and methods." (B-C) Liver sections obtained at 3 weeks (B) and 4 months (C) after transplantation from sheep that received transplanted human BM CD34⁺Lin⁻ cells, stained with the same antibody showing a higher number of human hepatocytes in the latter (C). (D) Liver section obtained at 11 months after transplantation from sheep that received transplanted CB-derived CD34⁺Lin⁻ cells, stained with antihuman hepatocyte antibody. Human hepatocytes in all sections can be identified by the dark brown coloration.

Human and porcine early kidney precursors as a new source for transplantation

Benjamin Dekel¹, Tatyana Burakova¹, Fabian D. Arditti¹, Shlomit Reich-Zeliger¹, Oren Milstein¹, Sarit Aviel-Ronen³, Gideon Rechavi^{3, 4}, Nir Friedman⁵, Naftali Kaminski³, Justen H. Passwell² & Yair Reisner¹



Náhrada orgánů

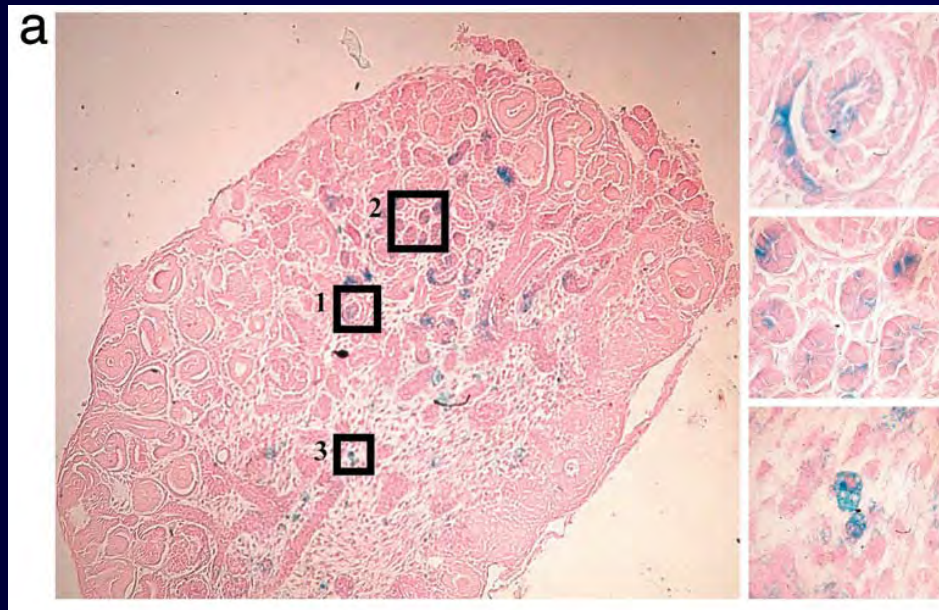
- prekurzorové ledvinové b. z lidské fetální tkáně
- transplantace do myšího embrya
- diferenciace ve funkční nefrony a podpůrné tkáně
- tvorba miniaturního funkčního orgánu - produkce moči

Human mesenchymal stem cells in rodent whole-embryo culture are reprogrammed to contribute to kidney tissues

Takashi Yokoo*^{†‡}, Toya Ohashi^{†§}, Jin Song Shen[†], Ken Sakurai^{†§}, Yoichi Miyazaki*[†], Yasunori Utsunomiya*, Masanori Takahashi[¶], Yoshio Terada[¶], Yoshikatsu Eto^{†§}, Tetsuya Kawamura*, Noriko Osumi[¶], and Tatsuo Hosoya*

Departments of *Internal Medicine and Gene Therapy and §Pediatrics, [†]Institute of DNA Medicine, Jikei University School of Medicine, 3-25-8, Nishi-shimbashi, Minato-ku, Tokyo 105-8461, Japan; [¶]Division of Developmental Neuroscience, Tohoku University Graduate School of Medicine, 2-1, Seiryō-machi, Aoba-ku, Sendai 980-8575, Japan; and [¶]Department of Homeostasis Medicine and Nephrology, Tokyo Medical and Dental University, 5-45 Yushima 1-chome, Bunkyo-ku, Tokyo 113-8519, Japan

Edited by Erkki Ruoslahti, The Burnham Institute, La Jolla, CA, and approved January 4, 2005 (received for review September 16, 2004)

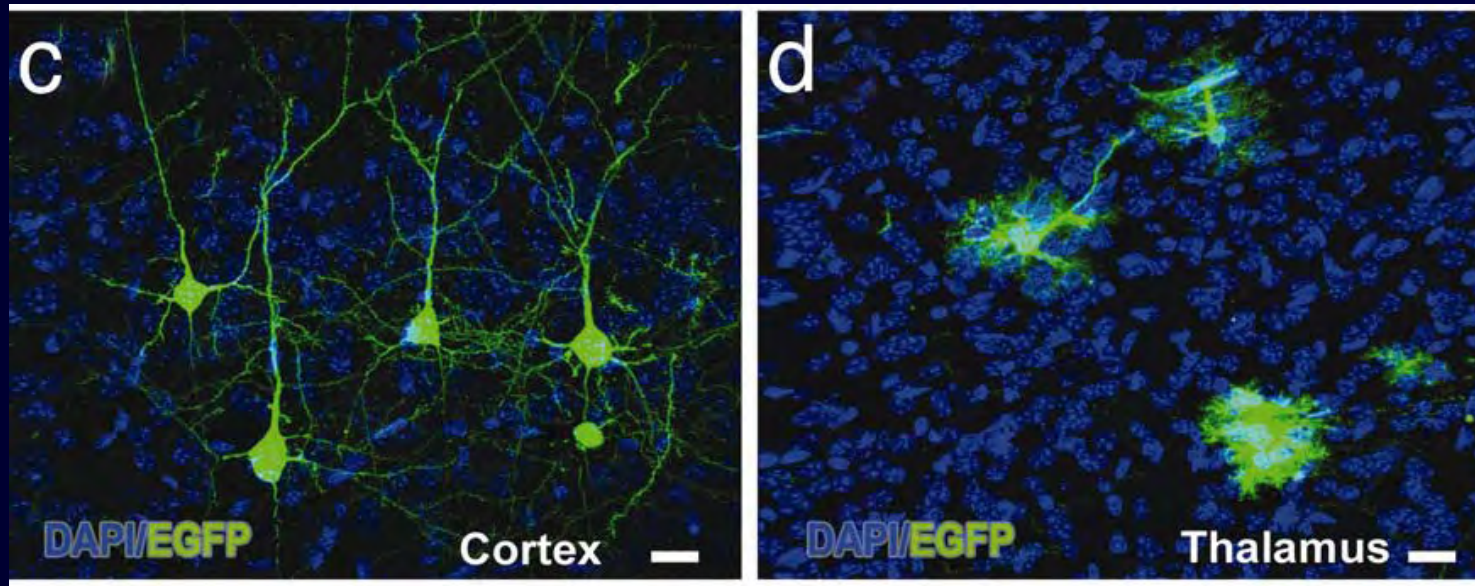


Development of functional human embryonic stem cell-derived neurons in mouse brain

Alysson R. Muotri^{*†}, Kinichi Nakashima^{*‡‡}, Nicolas Toni*, Vladislav M. Sandler*, and Fred H. Gage^{*§}

*Laboratory of Genetics, The Salk Institute for Biological Studies, 10010 North Torrey Pines Road, La Jolla, CA 92037; and [†]Laboratory of Molecular Neuroscience, Graduate School of Biological Sciences, Nara Institute of Science and Technology, 6916-5 Takayama, Ikoma 630-0101, Japan

Contributed by Fred H. Gage, October 27, 2005



Výzkum neurodegenerativních chorob:

- hESCs implantovány do myšího fetálního mozku
- diferenciace ve funkční linie neurálních buněk

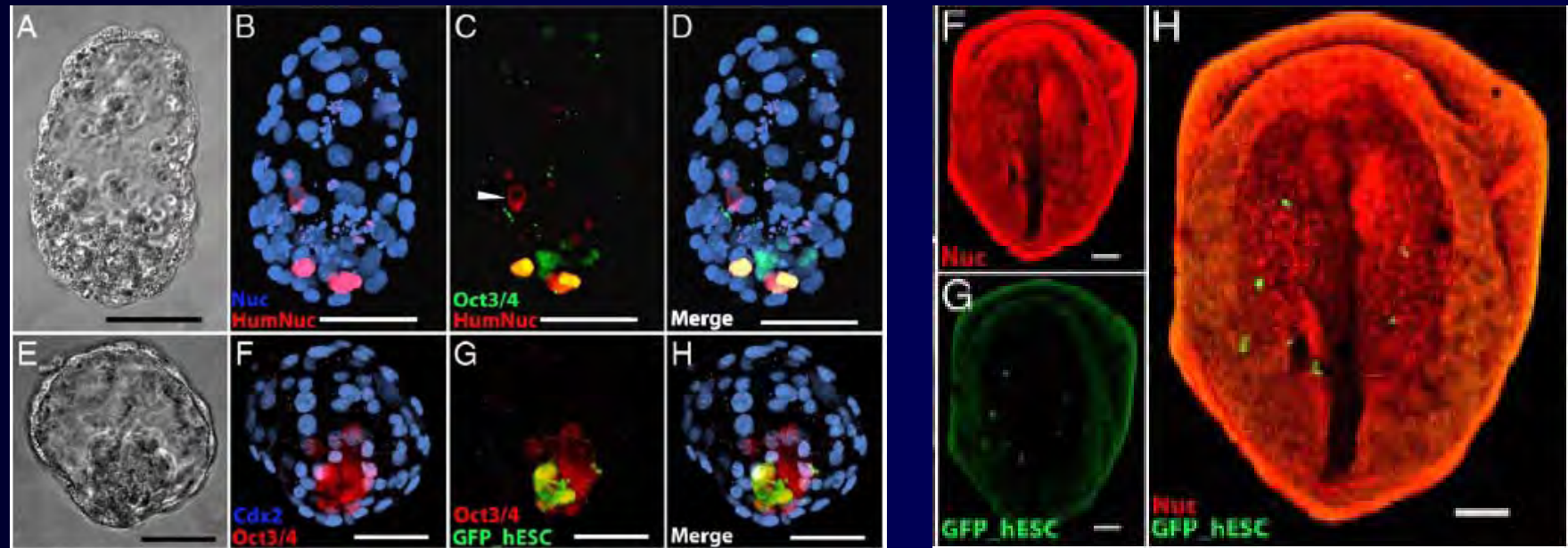
Contribution of human embryonic stem cells to mouse blastocysts

Daylon James ¹, Scott A. Noggle ¹, Tomasz Swigut, Ali H. Brivanlou *

Laboratory of Molecular Embryology, The Rockefeller University, 1230 York Avenue, New York, NY 10021, USA

Received for publication 18 January 2006; revised 13 February 2006; accepted 16 March 2006

Available online 12 June 2006



2 dny po injekci

D 8,5